

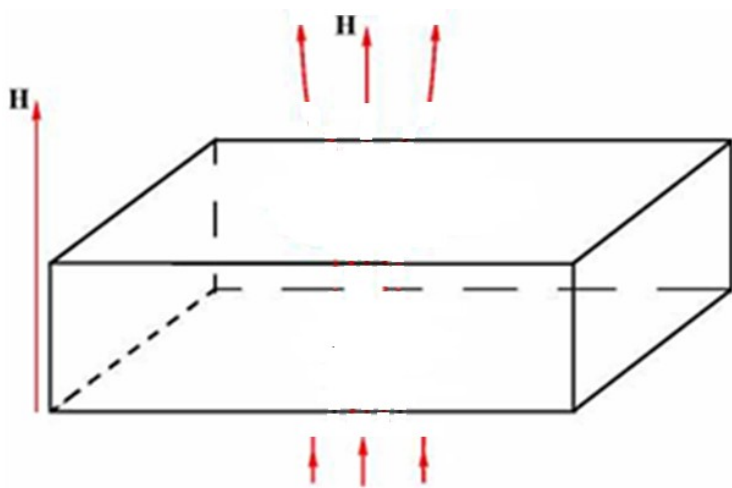
Введение в физику сверхпро ВОДИМОСТИ

Больгинов Виталий Валериевич

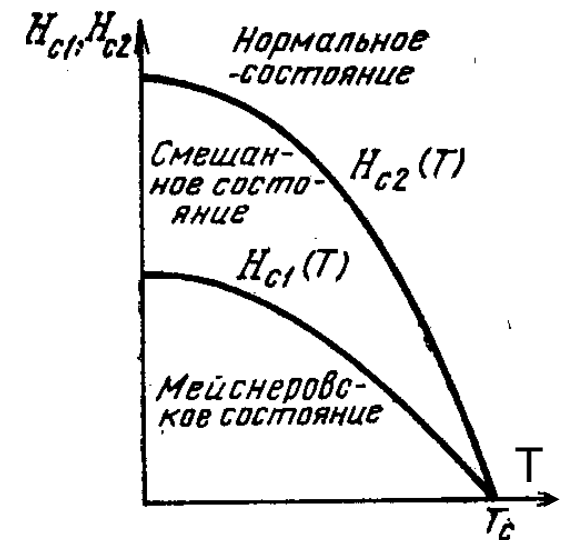
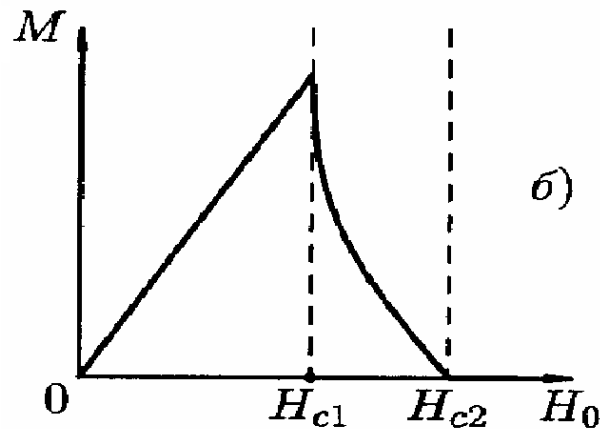
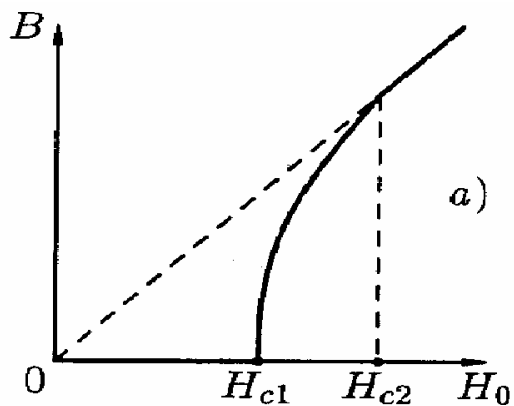
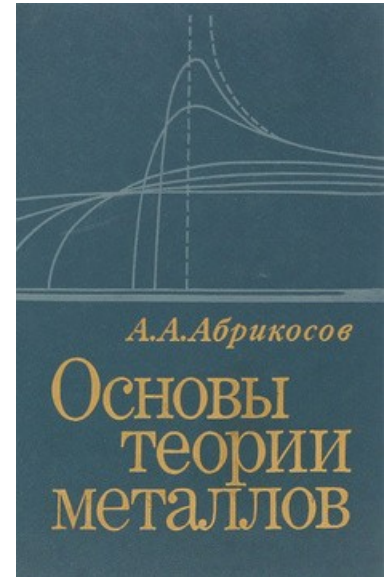
Лекция 9 **Вихри Абрикосова.**

Взаимодействие вихрей, обратимый магнитный момент в смешанном состоянии, пиннинг, барьер Бина-Левингстона, модель Бина.

Задача Абрикосова

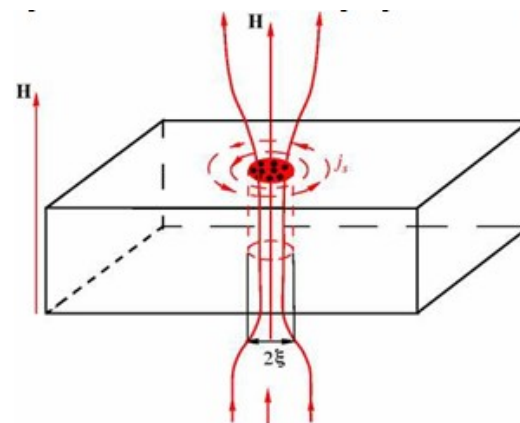
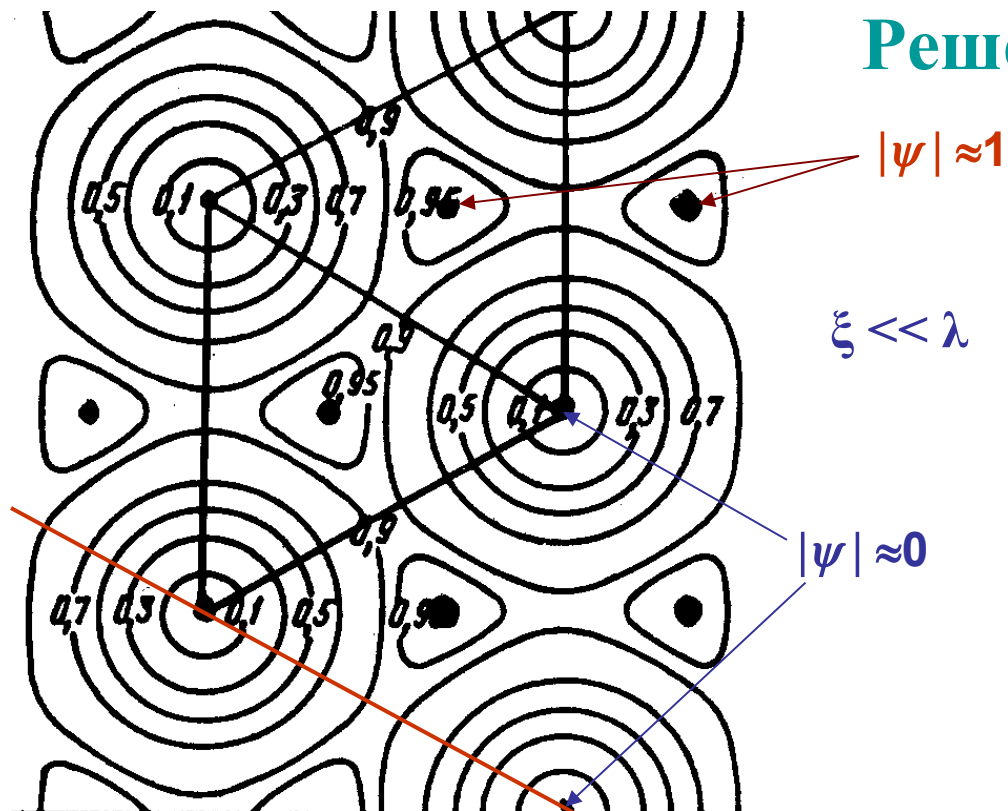


Как нормальное магнитное поле проникает в сверхпроводник?



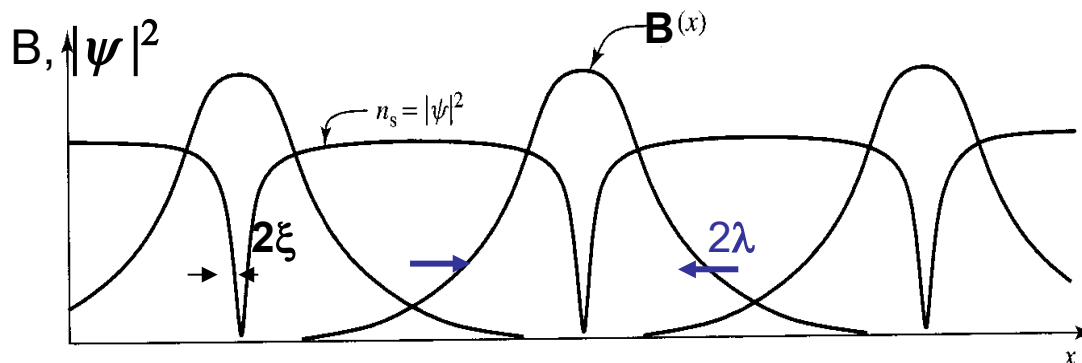
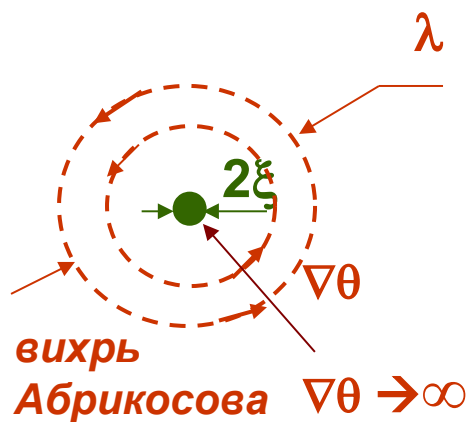
Как устроено смешанное состояние СП-2?

Решетка вихрей Абрикосова



Локализованный вихревой ток.

Токовая частица!



Один вихрь Абрикосова

$$B + \lambda^2 \text{rot rot } B = \Phi_0 \delta(r) e_v, \quad \text{гран. условие: } B(\infty) = 0.$$

Решение: $B = [\Phi_0 / (2\pi\lambda^2)] K_0(r/\lambda)$

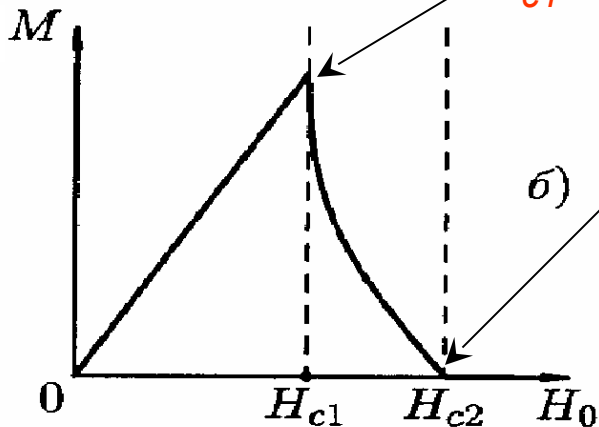
$K_0(z)$ - функция Макдональда или функция Ханкеля от мнимого аргумента.

$$\left\{ \begin{array}{l} \ln(1/z) = \ln(\lambda/r) @ \quad z \ll 1 \quad (r \ll \lambda); \\ K_0(z) = 0 \end{array} \right.$$

$$G = \varepsilon_1 - H \Phi_0 \leq 0 = (r/\lambda)^{-1/2} e^{-r/\lambda} @ \quad z \gg 1 \quad (r \gg \lambda).$$

$$H_{c1} = [\Phi_0 / (4\pi\lambda^2)] (\ln \kappa + 0.5)$$

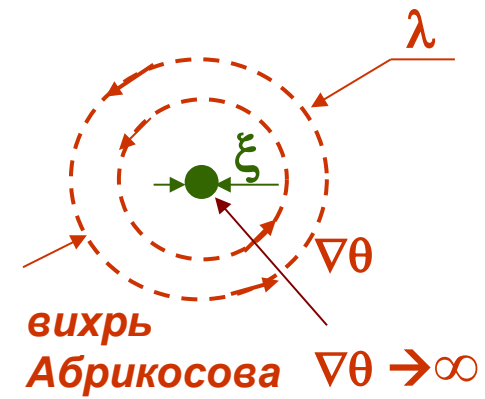
$$H_{c2} = \Phi_0 / 4\mu_0 \xi^2$$



$$1/(1.69 \sqrt{2}) = 0.42 < \kappa < 1 \quad H_{c3} = 1.69 H_{c2}$$

$$\varepsilon_1 = (\Phi_0 / 2\mu_0) B(0),$$

$$\varepsilon_1 = \frac{\Phi_0^2}{4\pi\mu_0 \lambda^2} \ln \kappa$$



“Обрежем” на ξ ($r \geq \xi$):
 $\ln(\lambda/r) \leq \ln(\lambda/\xi) = \ln(\kappa)$

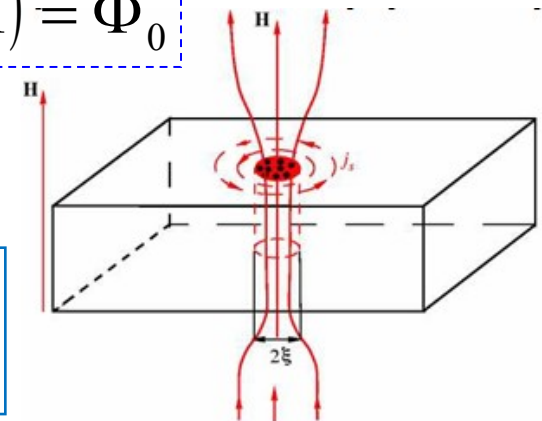
Параметр Гинзбурга

$$\kappa = \lambda / \xi$$

$$B(0) = [\Phi_0 / (2\pi\lambda^2)] \ln \kappa$$

$$B(0) = [\Phi_0 / (2\pi\lambda^2)] (\ln \kappa - 0.28)$$

$$\Phi(1) = \Phi_0$$



Энергия одиночного абрикосовского вихря

Опять рассм. случай: $\lambda \gg \xi$; $\kappa \gg 1$, $r \gg \xi \iff |\psi| = 1$
(однородный сверхпроводник, фактически, лондоновский предел)

“Вставим руками” один вихрь в сверхпроводник в отсутствие внешнего магнитного поля.

Как изменится энергия сверхпроводника? Добавится:

Энергия
Кора

- энергия магнитного поля с плотностью $B^2(r)/(2\mu_0)$

- кин. энергия вихревых токов с плотностью $(1/4m) |(i\hbar \nabla + 2eA)\Psi|^2$

Поскольку мы не будем пока изучать особенности в области кора вихря, для $r \gg \xi$ можно считать $\nabla \Psi = 0$ и полностью работать в рамках ур. Лондонов:

$A(r) = -\mu_0 \lambda_L^2 j_s(r)$; $\lambda_L^2 = m/(\mu_0 n_s e^2)$. Тогда плотность кин. энергии токов:

$$(e^2/m) A^2 |\Psi|^2 = [1/(2\mu_0 \lambda_L^2)] A^2 = \mu_0 \lambda_L^2 j_s^2 / 2 = (\lambda_L^2 / 2\mu_0) (\text{rot } B)^2; \quad |\Psi|^2 = n_s / 2$$

Таким образом, энергия абрикосовского вихря:

- плотность пар

$$\varepsilon = (1/2\mu_0) \int [B^2 + \lambda^2 (\text{rot } B)^2] dV \quad (5.6)$$

интегрируем по бесконечному объему с одним вихрем вдоль z

Из лекции 2 (flashback)

Из эффекта Мейсснера:

Добавка к энергии сверхпроводника в магнитном поле =
= энергия токов + энергия поля

Плотность энергии сверхпроводящих токов:

$$w_{\text{кин}} = n_s m v_s^2 / 2 = j_s^2 m / (2 n_s e^2) = (\mu_0 \lambda_L^2 / 2) (\text{rot } \mathbf{H})^2; \quad \mathbf{j}_s = \text{rot } \mathbf{H} \quad (\text{ур. Максвелла})$$

Плотность энергии магнитного поля:

$$w_H = \mu_0 H^2 / 2$$

Минимизируем добавку к внутренней энергии: $\delta_H F_s = 0$

$$F_s = F_{s0} + (\mu_0 / 2) \int dV [H^2 + \lambda_L^2 (\text{rot } \mathbf{H})^2]$$

$$\lambda_L^2 (\text{rot rot } \mathbf{H}) = -\mathbf{H} \quad \text{или} \quad \Lambda(\text{rot } \mathbf{j}_s) = -\mathbf{B};$$

Уравнение Лондонов

$\Lambda \mathbf{j}_s(\mathbf{r}) = -\mathbf{A}(\mathbf{r})$; ур. Максвелла $\text{rot } \mathbf{H} = \mathbf{j}_s$ и определение $\mathbf{B} = \text{rot } \mathbf{A}$ дают:

$$\text{rot rot } \mathbf{A} = - (1/\lambda_L^2) \mathbf{A}$$

Преобразование функционала энергии

$$\varepsilon_1 = (1/2\mu_0) \int [B^2 + \lambda^2 (\text{rot } B)^2] dV$$

$$\lambda^2 \text{rot rot } B + B = \Phi_0 \delta(\mathbf{r})$$

$$(\text{rot } B)^2 = (\text{rot } B)(\text{rot } B) = \mathbf{a} B' \rightarrow \mathbf{a}' B = (\text{rot rot } B) B$$

$$\text{div} [aB] = B \text{rot } a - a \text{rot } B$$

$$\text{div} [\text{rot } B \times B] = \nabla [\text{rot } B \times B] = -(\text{rot } B)^2 + B \text{rot rot } B$$

$$\text{m.e. } (\text{rot } B)^2 = B \text{rot rot } B - \text{div} [\text{rot } B \times B]$$

$$\varepsilon = (1/2\mu_0) \int (B^2 + \lambda^2 B \text{rot rot } B - \lambda^2/2\mu_0 \text{div} [\text{rot } B \times B]) dV$$

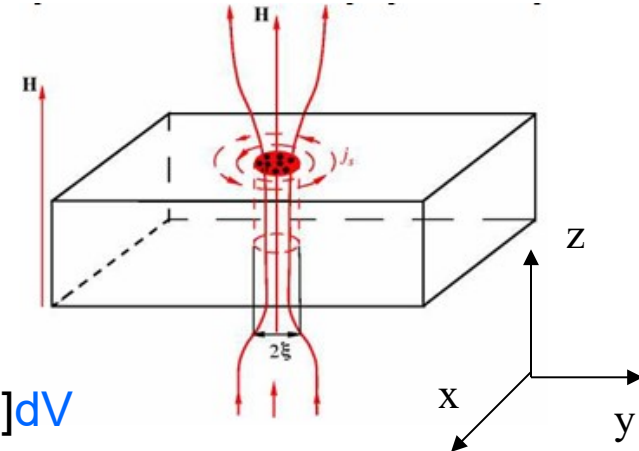
$$\varepsilon = (1/2\mu_0) \int (B(B + \lambda^2 \text{rot rot } B)) dV - (\lambda^2/2\mu_0) \int \text{div} [\text{rot } B \times B] dV$$

$$\varepsilon = (1/2\mu_0) \int B(\mathbf{r}) \Phi_0 \delta(\mathbf{r}) dV - (\lambda^2/2\mu_0) \int [\text{rot } B \times B] dS$$

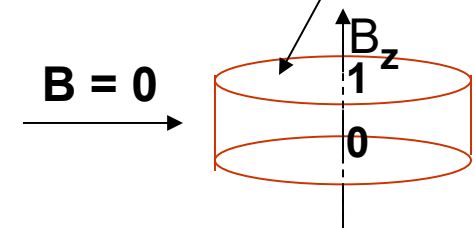
$$\varepsilon = (1/2\mu_0) \Phi_0 B(0) L - (\lambda^2/2\mu_0) \int B [j_s \times n] n dS \quad \boxed{\text{rot } B = \mu_0 j_s}$$

0

$$\varepsilon (L=1) = (1/2\mu_0) \Phi_0 B(0)$$



по теореме Гаусса $\mathbf{n} \parallel \mathbf{B}$
по охватывающей
объем поверхности



Энергия абрикосовского вихря-II

Энергия абрикосовского вихря: $\varepsilon_1 = (1/2\mu_0) \int [B^2 + \lambda^2 (\text{rot } \mathbf{B})^2] dV$

$$\varepsilon_1 = (\Phi_0 / 2\mu_0) B(0),$$

$$B(0) = [\Phi_0 / (2\pi\lambda^2)] \ln \kappa$$

$$\varepsilon_1 = \frac{\Phi_0^2}{4\pi\mu_0\lambda^2} \ln \kappa$$

$$\varepsilon_1 = [\Phi_0 / (2\pi\lambda^2)] \ln(\kappa - 0.28)$$

$$\varepsilon_1 = \frac{\Phi_0^2}{4\pi\mu_0\lambda\xi} \frac{\xi}{\lambda} \ln \kappa$$

$$\mu_0 H_{cm} = \Phi_0 / (2\sqrt{2} \pi \lambda \xi)$$

$$\lambda \gg \xi; \kappa \gg 1$$

$$\varepsilon_1 = \frac{\Phi_0 H_{cm}}{\sqrt{2}\kappa} \ln \kappa$$

Учтем, что $\psi = \psi(\mathbf{r}) \neq 1$.

$$F_n = F_s + \frac{\mu_0 H_{cm}^2}{2}$$

$$\Delta\varepsilon_{core} = \frac{\mu_0 H_{cm}^2}{2} \pi \xi^2 = \frac{\Phi_0^2}{16\pi^2 \mu_0 \lambda^2 \xi^2} \pi \xi^2 = \frac{1}{4} \frac{\Phi_0^2}{4\pi\mu_0\lambda^2} \ll \varepsilon_1$$

$$\varepsilon_1 = \left(\frac{1}{2\mu_0} \frac{\Phi_0^2}{(2\pi\lambda^2)^2} \ln \kappa \right) 2\pi\lambda^2 \cdot 1 \text{ m}$$

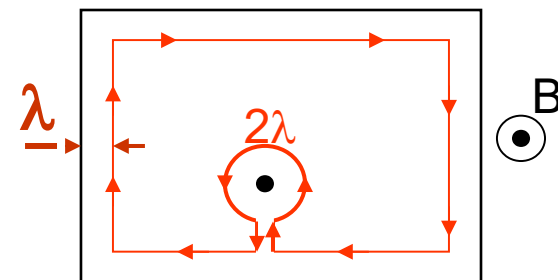
$$\varepsilon_1 = \frac{\Phi_0^2}{4\pi\mu_0 \lambda^2} [\ln \kappa + 0.5]$$

Первое критическое поле H_{c1}

Рассмотрим процесс создания вихря

$$\varepsilon_1 = \frac{\Phi_0^2}{4\pi\mu_0\lambda^2} (\ln \kappa + 0.5) > 0$$

$$\varepsilon_1 = \frac{\Phi_0 H_{cm}}{\sqrt{2}\kappa} \ln \kappa$$



Включим внешнее магнитное поле и посчитаем энергию Гиббса ед. дл. вихря:

$$G = \varepsilon_1 - \int \mathbf{B}(\mathbf{r}) \mathbf{H} dS = \varepsilon_1 - H_0 \int B dS = \varepsilon_1 - H\Phi_0$$

H – приложенное внешнее магнитное поле (напряженность).

При некотором $H_0 = H_{c1}$ потенциал Гиббса меняет знак!

При $H > H_{c1}$ -поле вихрю становится выгодно входить в сверхпроводник!

$$G = 0: \quad H_{c1} = [\Phi_0 / (4\pi\lambda^2)] (\ln \kappa + 0.5)$$

(Половина поля в центре вихря.)

$$H_{c1} = \frac{H_{cm}}{\sqrt{2}} \frac{\ln \kappa}{\kappa} < H_{cm}$$

При $\kappa=100$ и $H_{cm}=10^3$ Э = 10^{-1} Т

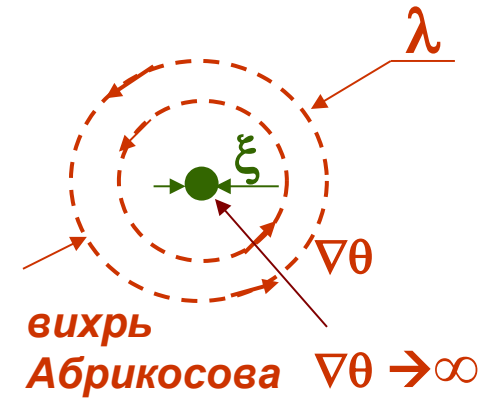
поле вхождения вихрей $H_{c1} \sim 30$ Э !

При $\kappa=10$ и $H_{cm}=10^3$ Э

$H_{c1} \sim 150$ Э !!

Магнитное поле абрикосовских вихрей

Изучим распределение поля в “уединенном” вихре для случая $\lambda \gg \xi$ ($\kappa = \lambda/\xi \gg 1$), т.е. всюду, где текут сверхпроводящие токи, создающие поле вихря



Преобразуем второе уравнение Г-Л:

$$\text{rot rot } \mathbf{A} = (|\psi|^2/\lambda^2) [(\Phi_0/2\pi) \nabla\theta - \mathbf{A}]$$

$\psi(r) = |\psi|(r) \exp(i\theta(r))$ – комплексная величина, поскольку абрикосовский вихрь – двусвязный объект

$|\psi| = 1$, кроме пренебрежимо малой области центра вихря модуль, где $|\psi| < 1$

$$\text{rot } \mathbf{B} = (1/\lambda^2) [(\Phi_0/2\pi) \nabla\theta - \mathbf{A}] \quad \leftarrow \mathbf{B} = \text{rot } \mathbf{A}$$

Взяв rot от обеих частей, имеем:

$$\lambda^2 \text{rot rot } \mathbf{B} + \mathbf{B} = (\Phi_0/2\pi) \text{rot } \nabla\theta$$

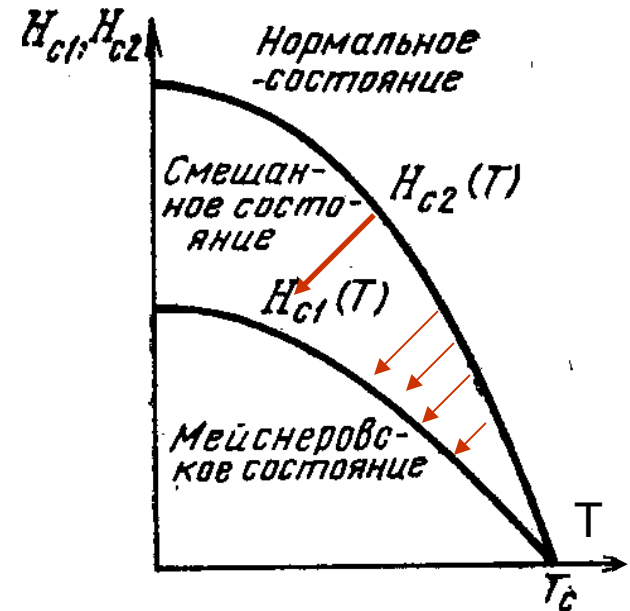
Всюду, кроме центров вихрей $\text{rot } \nabla\theta = 0$

(работает ур. Лондонов).

Но центры вихрей – особые точки, где $\nabla\theta \rightarrow \infty$

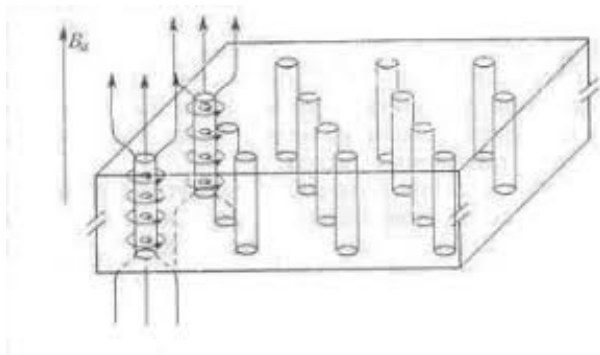
$\nabla\theta \sim 2\pi / 2\pi r = 1/r \rightarrow \infty$ при $r \rightarrow \mathbf{r}_1, \mathbf{r}_2$ и $\text{rot } \nabla\theta \rightarrow \infty$

Это определение δ -функции, вопрос только в коэффициенте.



Много δ -функций!

Поле двух вихрей Абрикосова



$$B + \lambda^2 \text{rot rot } B = \Phi_0 e_v [\delta(r_1) + \delta(r_2)] \text{ гран. условие: } B(\infty) = 0.$$

Решение: **две** функции Макдональда

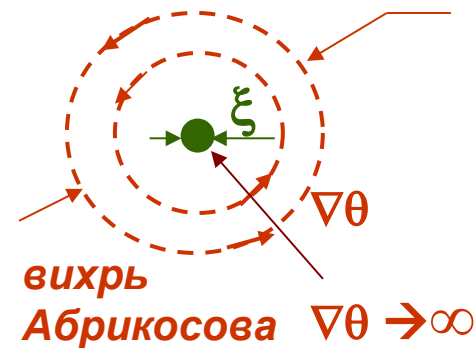
$$B = [\Phi_0 / (2\pi\lambda^2)] [K_0(r_1/\lambda) + K_0(r_2/\lambda)]$$

$K_0(z)$ - функция Макдональда или функция Ханкеля от мнимого аргумента.

$$K_0(z) = \begin{cases} \ln(1/z) = \ln(\lambda/r) @ z \ll 1 \quad (r \ll \lambda); \\ e^{-z/\lambda} = (r/\lambda)^{-1/2} e^{-r/\lambda} @ z \gg 1 \quad (r \gg \lambda). \end{cases}$$

Поле в центре
вихря:

$$B^{(2)}(r_1) = B^{(1)}(0) + B_{21}$$



$$\oint \delta(r) e_v dS = \oint$$

$$\oint = 2\pi n$$

“Обрежем” на ξ ($r \geq \xi$):
 $\ln(\lambda/r) \leq \ln(\lambda/\xi) = \ln(\kappa)$

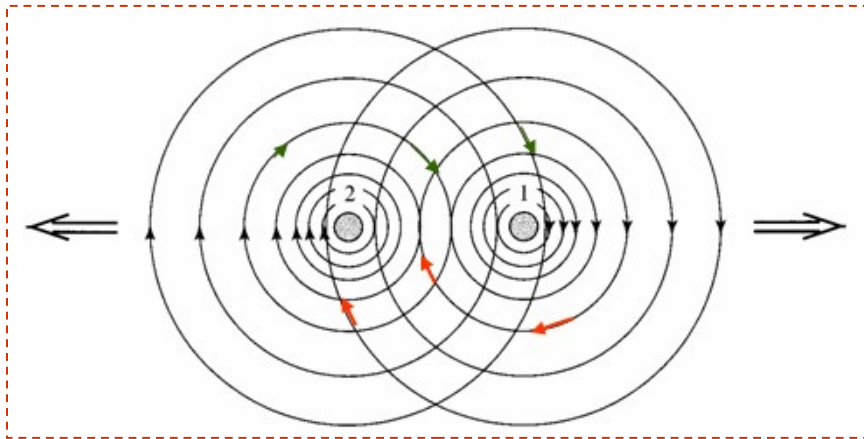
Параметр Гинзбурга

$$\kappa = \lambda / \xi$$

$$B^{(1)}(0) = [\Phi_0 / (2\pi\lambda^2)] \ln \kappa$$

$$B^{(1)}(0) = [\Phi_0 / (2\pi\lambda^2)] (\ln \kappa - 0.28)$$

Энергия двух вихрей



Энергия системы двух вихрей, расположенных в точках r_1 и r_2 - опять сумма энергии внесенного поля и кин. энергии токов, как в (5.6) и далее:

$$\varepsilon_2 = (1/2\mu_0) \int [\mathbf{B}^2 + \lambda^2 (\text{rot } \mathbf{B})^2] dV$$

интегрируем по бесконечному пространству xy с двумя вихрями **ед. длины** вдоль z

$$\int (\text{rot } \mathbf{B})^2 dV = \int (\text{rot } \mathbf{B}) (\text{rot } \mathbf{B}) dV \rightarrow \int \mathbf{B} \text{rot } (\text{rot } \mathbf{B}) dV$$

$$\text{div} [\text{rot } \mathbf{B} \times \mathbf{B}] = \nabla [\text{rot } \mathbf{B} \times \mathbf{B}] = - (\text{rot } \mathbf{B})^2 + \mathbf{B} \text{rot rot } \mathbf{B}$$

$$\text{m.e. } (\text{rot } \mathbf{B})^2 = \mathbf{B} \text{rot rot } \mathbf{B} - \text{div} [\text{rot } \mathbf{B} \times \mathbf{B}]$$

$$\varepsilon_2 = (1/2\mu_0) \int (\mathbf{B}^2 + \lambda^2 \mathbf{B} \text{rot rot } \mathbf{B} - \lambda^2/2\mu_0 \text{div} [\text{rot } \mathbf{B} \times \mathbf{B}]) dV$$

$$\varepsilon_2 = (1/2\mu_0) \int (\mathbf{B}(\mathbf{B} + \lambda^2 \text{rot rot } \mathbf{B}) dV - (\lambda^2/2\mu_0) \int \text{div} [\text{rot } \mathbf{B} \times \mathbf{B}] dV$$

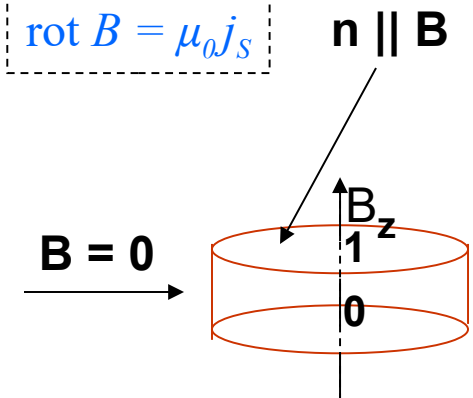
$$\varepsilon_2 = \varepsilon_2^{(0)} L - (\lambda^2/2\mu_0) \int [\text{rot } \mathbf{B} \times \mathbf{B}] d\mathbf{S} = \varepsilon_2^{(0)}$$

$$\int [\text{rot } \mathbf{B} \times \mathbf{B}] d\mathbf{S} = \int [\mathbf{j}_s \times \mathbf{B}] \mathbf{n} dS = 0$$

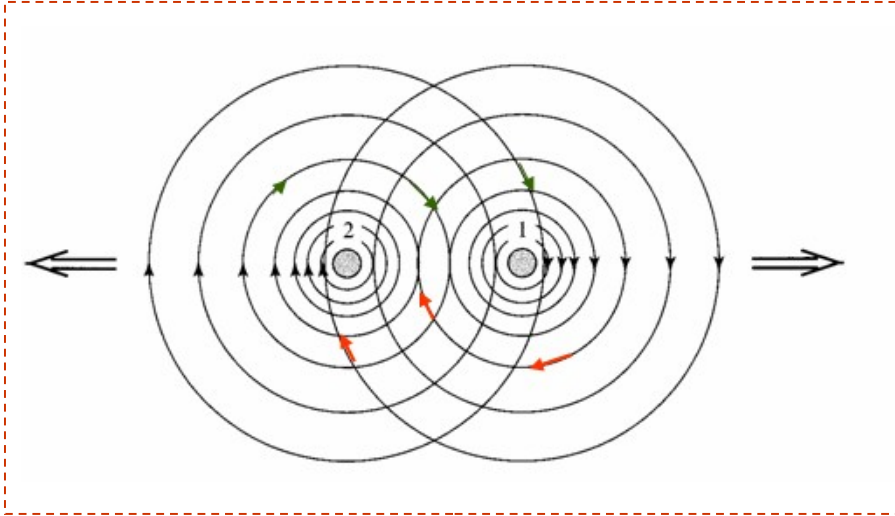
$$\text{div} [a\mathbf{B}] = \mathbf{B} \text{rot } a - a \text{rot } \mathbf{B}$$

$$a = \text{rot } \mathbf{B}$$

$$\text{rot } \mathbf{B} = \mu_0 \mathbf{j}_s$$



Подстановка поля



$$B^{(1)}(0) = [\Phi_0 / (2\pi\lambda^2)] \ln \kappa$$

$$B^{(2)}(\mathbf{r}_1) = B^{(1)}(0) + B_{21}$$

$$\varepsilon^{(2)} = (1/2\mu_0) \int [\mathbf{B}^2 + \lambda^2 (\text{rot } \mathbf{B})^2] dV$$

$$\varepsilon^{(2)} = (1/2\mu_0) \int (\mathbf{B}(\mathbf{B} + \lambda^2 \text{rot rot } \mathbf{B})) dV$$

$$\lambda^2 \text{rot rot } \mathbf{B} + \mathbf{B} = (\Phi_0 / 2\pi) \text{rot } \nabla \theta$$

$$= \Phi_0 [\delta(\mathbf{r}-\mathbf{r}_1) + \delta(\mathbf{r}-\mathbf{r}_2)] \mathbf{e}_v$$

$$\varepsilon_2 = (\Phi_0 / 2\mu_0) \int \mathbf{B} [\delta(\mathbf{r}-\mathbf{r}_1) + \delta(\mathbf{r}-\mathbf{r}_2)] \mathbf{e}_v dV$$

$$\varepsilon_2 = (\Phi_0 / 2\mu_0) [B(r_1) + B(r_2)]$$

$$\varepsilon_2 = (\Phi_0 / 2\mu_0) B^{(1)}(\mathbf{r}_1) + (\Phi_0 / 2\mu_0) B_{21}(r_1) + (\Phi_0 / 2\mu_0) B^{(1)}(\mathbf{r}_2) + (\Phi_0 / 2\mu_0) B_{12}(r_2)$$

$$B_{21}(r_1) = B_{12}(r_2)$$

$$\varepsilon_2 = 2\varepsilon_1 + 2(\Phi_0 / 2\mu_0) B_{12} = 2\varepsilon_1 + \Phi_0 H_{12},$$

Сила взаимодействия вихрей

$$\varepsilon_2 = 2\varepsilon_1 + 2(\Phi_0/2\mu_0)B_{12} = 2\varepsilon_1 + \Phi_0 H_{12},$$

С какой силой взаимодействуют вихри?

$$F = - \partial U / \partial x = - \partial \varepsilon_2 / \partial x \quad x \equiv r_{12}$$

H_{12} – поле, которое создает один вихрь в центре второго.

$$\varepsilon_1 = (\Phi_0/2\mu_0)B(0),$$

$U(x) = \Phi_0 H_{12}(x)$ – энергия, а $F(x) = -\Phi_0 dH_{12}(x)/dr$ – сила взаимодействия двух вихрей. На ед. длины!

Решение: функция Макдональда

$$H_{12} = [\Phi_0/(2\pi\mu_0\lambda^2)] [K_0(\{r_2 - r_1\}/\lambda)]$$

$K_0(z)$ – функция Макдональда или функция Ханкеля от мнимого аргумента.

$$K_0(z) = \begin{cases} \ln(1/z) = \ln(\lambda/\{r_2 - r_1\}) @ \quad z \ll 1 \quad (r \ll \lambda); \\ 0 \leftarrow e^{-z/z^{1/2}} = (\{r_2 - r_1\}/\lambda)^{-1/2} e^{\{r_2 - r_1\}/\lambda} @ \quad z \gg 1 \quad (r \gg \lambda). \end{cases}$$

Считать или не считать?

Взаимодействие вихрей. Сила Лоренца.

$$\varepsilon_2 = 2\varepsilon_1 + 2(\Phi_0/2\mu_0)B_{12} = 2\varepsilon_1 + \Phi_0 H_{12},$$

$$F = -\partial U / \partial x = -\partial \varepsilon_2 / \partial x \quad x \equiv r_{12}$$

$$\varepsilon_1 = (\Phi_0/2\mu_0)B(0),$$

H_{12} – поле, которое создает один вихрь в центре второго.

$U(x) = \Phi_0 H_{12}(x)$ – энергия, а $F(x) = -\Phi_0 dH_{12}(x)/dx$ – сила взаимодействия двух вихрей. На ед. длины!

Считать не хотим!

$$dH_{12}(x)/dx = j(x)$$

по уравнению Максвелла $\text{rot } \mathbf{H} = \mathbf{j}$

$$\mathbf{f}_L = \Phi_0 [\mathbf{j} \times \mathbf{e}_v] = [\mathbf{j} \times \Phi_0]$$

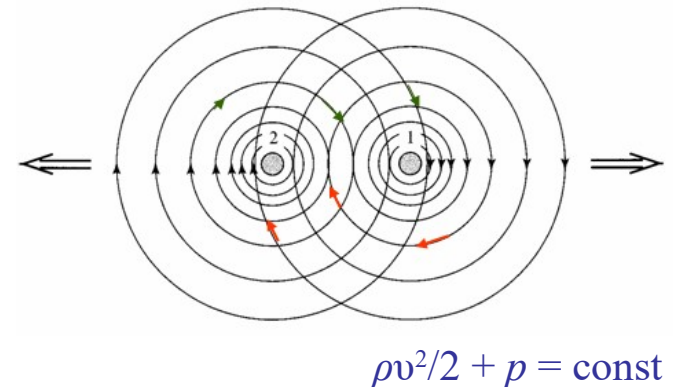
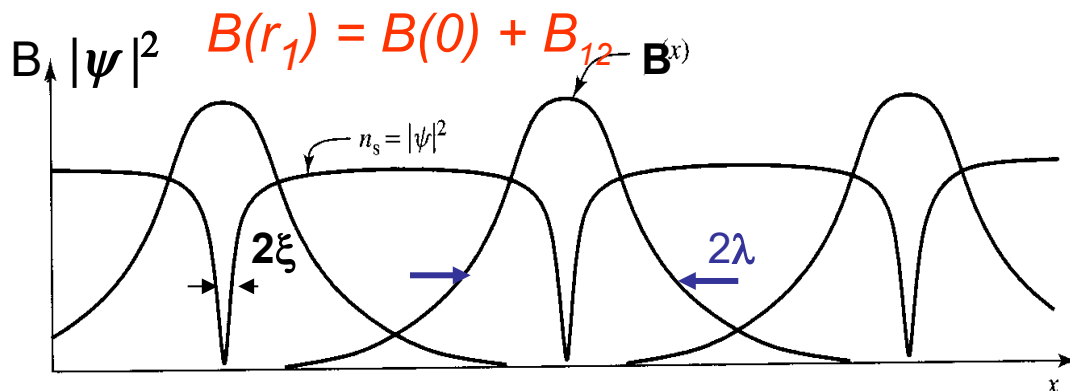
«сила Лоренца»

$$(f_L = ne [\mathbf{v} \times \mathbf{B}])$$

сила взаимодействия сверхтока с плотностью j и единицы длины вихря

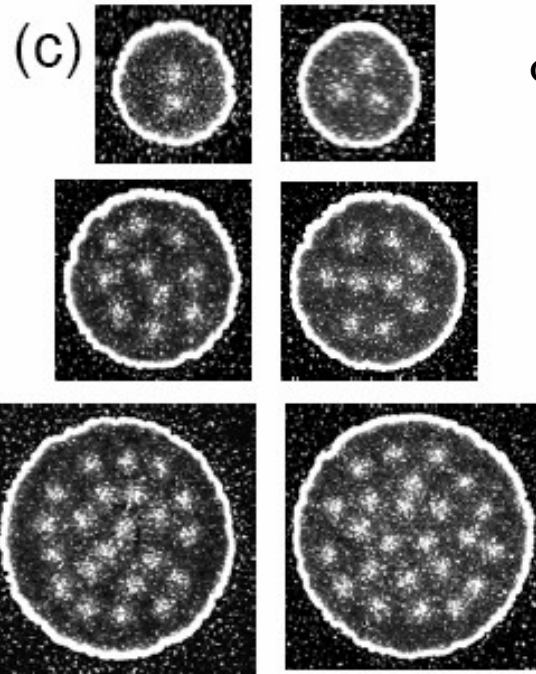
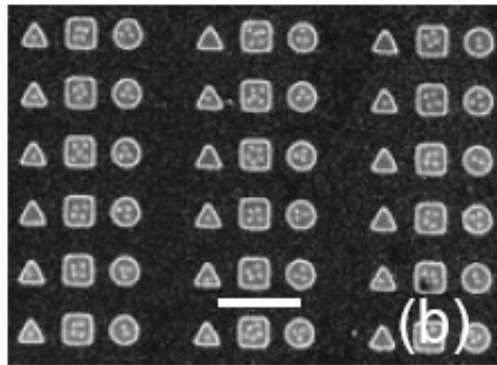
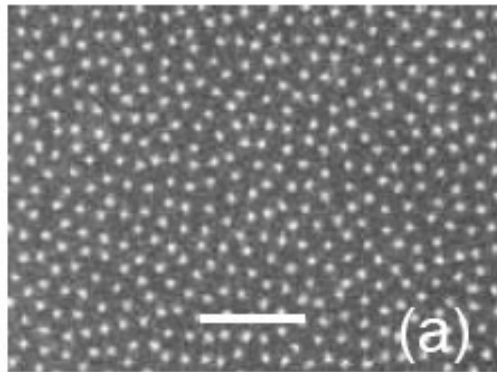
“Сила Лоренца” – гидродинамическое взаимодействие “сверхтекучих жидкостей” – сверхтоков

Одноименные вихри отталкиваются. Употребляются термины «вихрь/антивихрь»



Взаимодействие вихрей с током

В полях больших H_{c1} в образце содержится много вихрей. *Сколько?*



5 μm

$$\Phi = \mu_0 H^* S = N \Phi_0 \quad N = \mu_0 H^* S / \Phi_0$$

Вихрей на ед. площади образца A
 $n = N / S = \mu_0 H / \Phi_0$

Площадь на вихрь (квadrat)

$$s = S / N = \Phi_0 / \mu_0 H = 1/n$$

Расстояние между
вихрями (квadrat)

$$a = \sqrt{s} = 1/\sqrt{n} = (\Phi_0 / \mu_0 H)^{1/2}$$

Есть зона Мейснеровских токов.

Экранирующие токи отталкивают вихри от края.

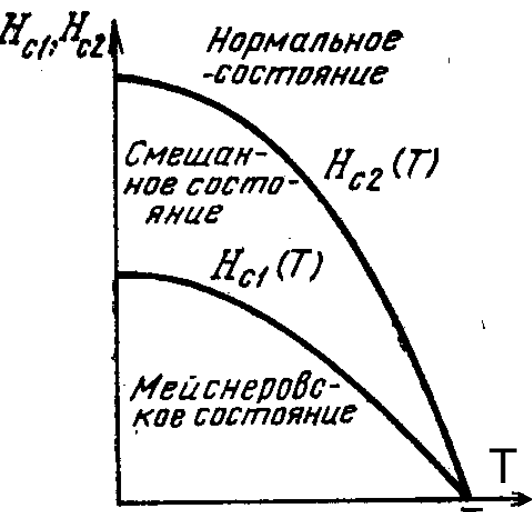
$$\mathbf{f}_L = [\mathbf{j} \times \Phi_0]$$

Свободные вихри образуют вихревую решетку.

Тема 1.

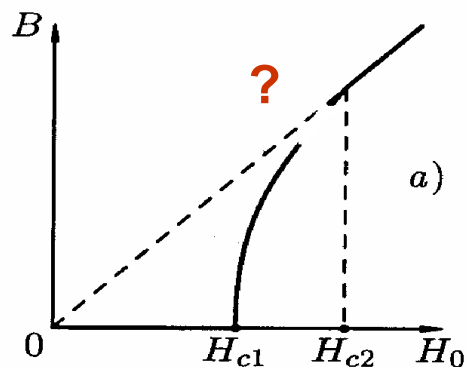
Обратимый магнитный момент
сверхпроводников II рода

Обратимый магнитный момент в смешанном состоянии



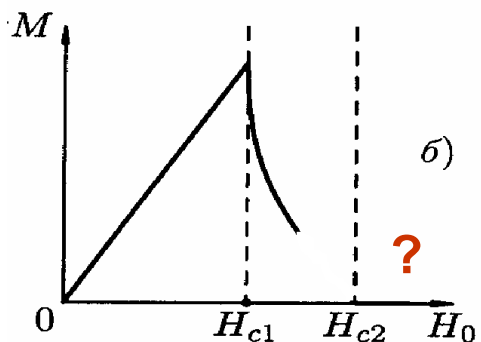
Фазовая диаграмма сверхпроводящего состояния сверхпроводников 2 рода содержит области мейснеровского состояния, смешанного и нормального.

Магнитный поток резко входит в СП-II при поле $H = H_{c1}$ и далее постепенно нарастает при увеличении H .



Магнитный момент сверхпроводника в мейснеровской области линейно растет с H (полная экранировка).

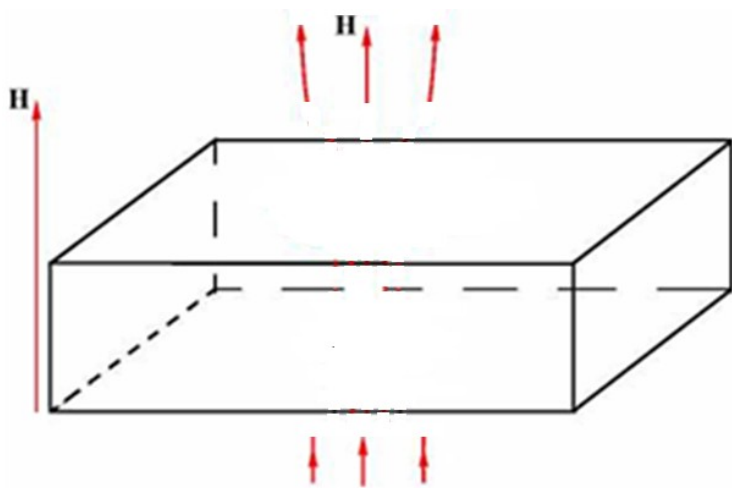
При $H > H_{c1}$ магнитный момент убывает за счет проникновения магнитного поля в сверхпроводник (неполная экранировка).



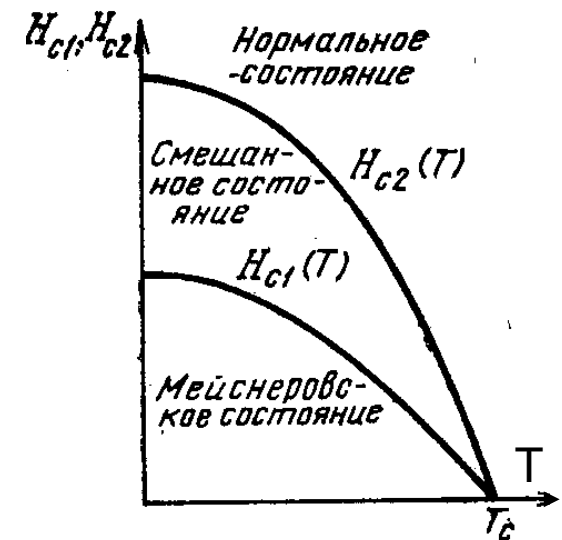
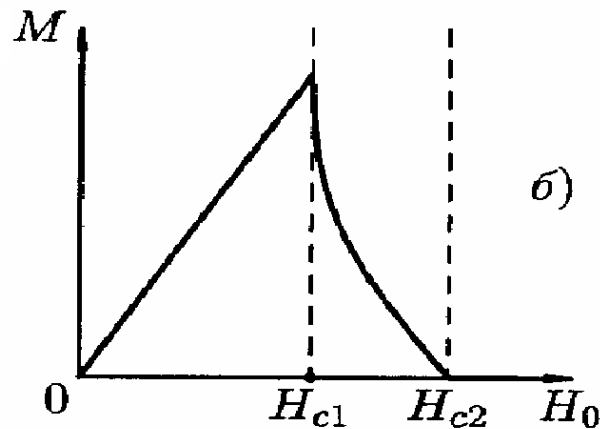
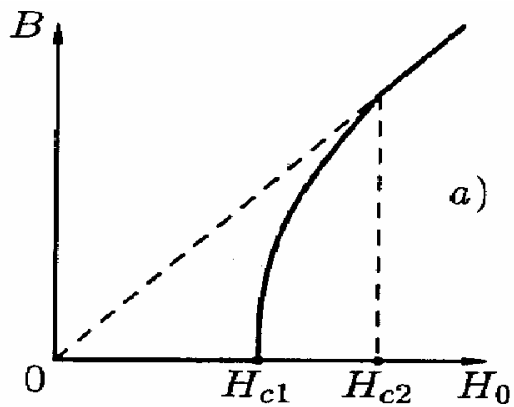
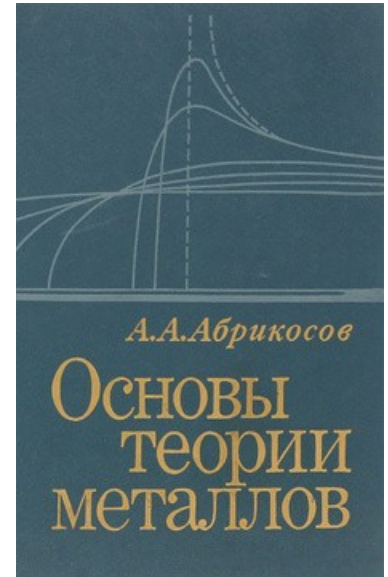
Как выглядит зависимость $|M(H)|$ вблизи H_{c2} ?

Какую формулу надо применять для определения H_{c2} в случае недостатка чувствительности или магнитного поля?

Задача Абрикосова



Как нормальное магнитное поле проникает в сверхпроводник?



Решать или не решать?

Не решать!

1) Рассмотрим искусственную ситуацию: сверхпроводник с переменной $\xi = \xi(x)$ и *постоянной* λ во внешнем поле B_0 .

$$\varepsilon_1 = \frac{\Phi_0^2}{4\pi\mu_0\lambda^2} \ln \kappa(x)$$

2) Запишем баланс сил (дифф-уравнение).

3) Находим координатную зависимость намагниченности индукции B .

4) Выражаем $\xi = \xi(x)$ через $H_{c2}(x)$ и получаем универсальное решение $B(B_0)$.

5) Разлагаем решение $B(B_0)$ по малому параметру в окрестности H_{c2} .

6) Считаем магнитный момент.

$$H_{c2} = \Phi_0 / 4\mu_0\xi^2$$

Искусственная (?) ситуация $\xi = \xi(x)$

Искусственная (?) ситуация $\xi = \xi(x)$

S. Veshchunov, W. Magrini, S. V. Mironov, A. G. Godin, J.-B. Trebbia, A. I. Buzdin,
Ph. Tamarat & B. Lounis

Optical manipulation of
single flux quanta”
Nature Communications
volume 7, 12801 (2016)

Магнитооптика:

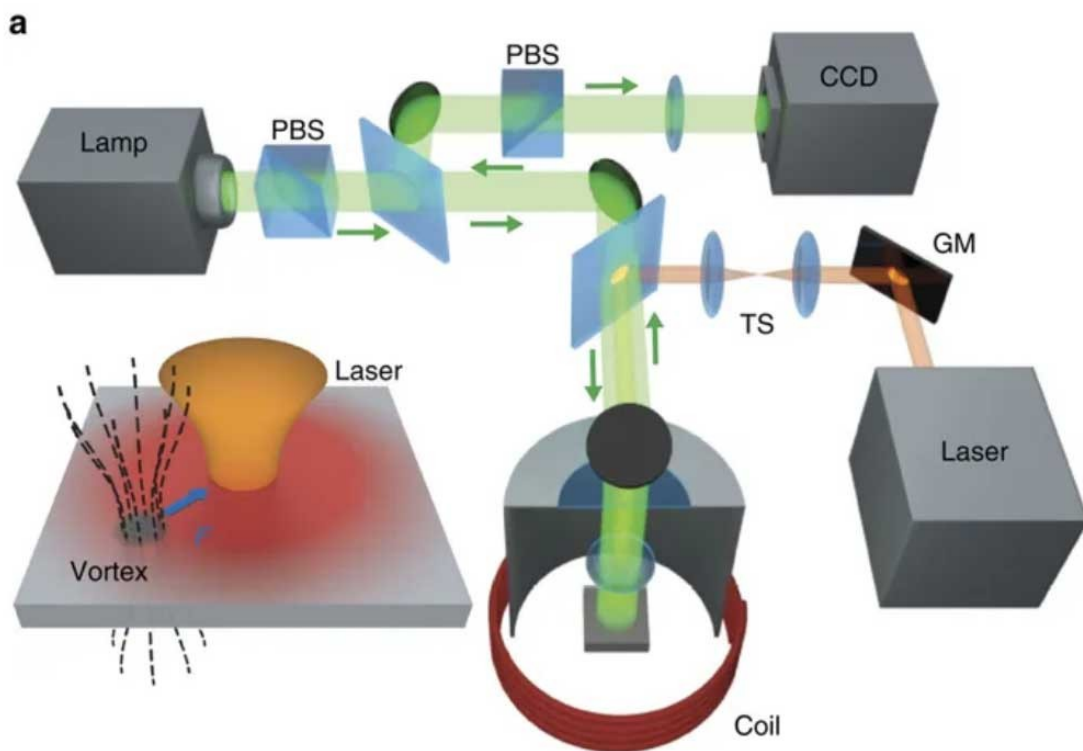
- Изменение поляризации света под действием магнитного поля.
- Получение светового контраста при помощи поляризатора.

Достижения:

- Повышение разрешающей способности магнитооптического метода.
- Точное позиционирование лазерного луча.

неразрушающий метод. Возможность проведения измерений в реальном времени.

Figure 1: Single vortex manipulation with a focused laser beam.



$$\xi(x) \sim [1 - (T(x)/T_c)]^{-1/2}$$

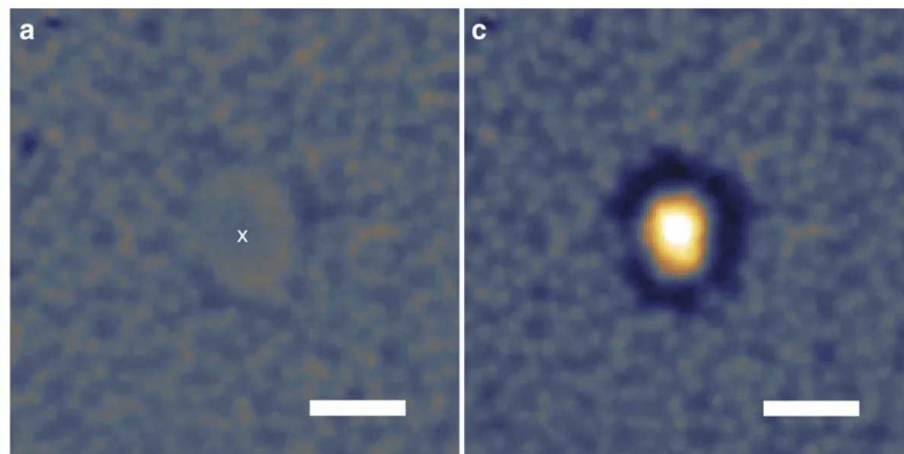
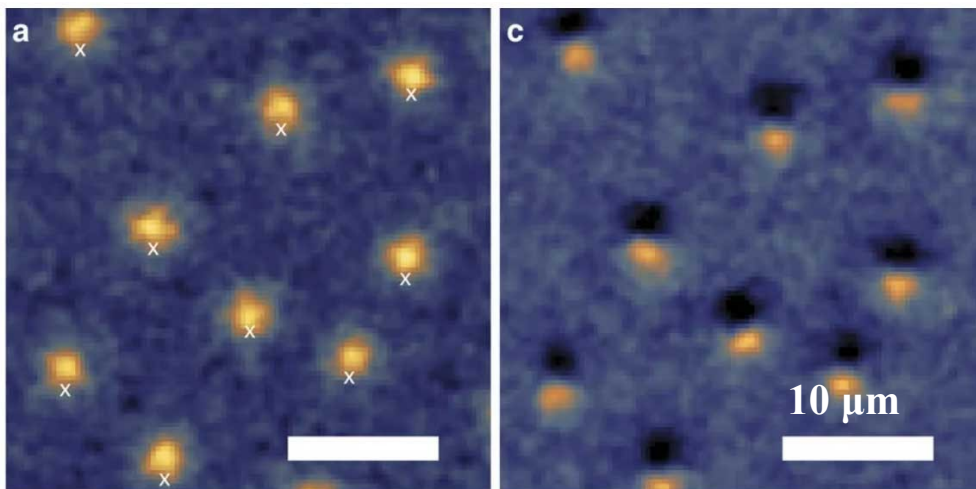
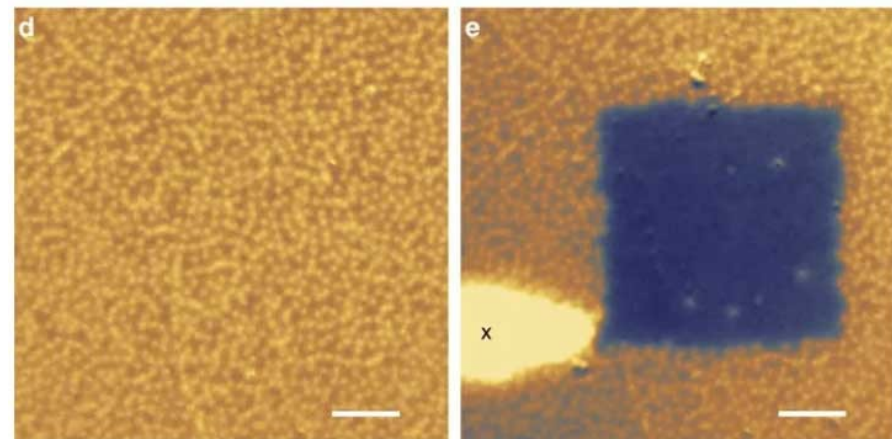
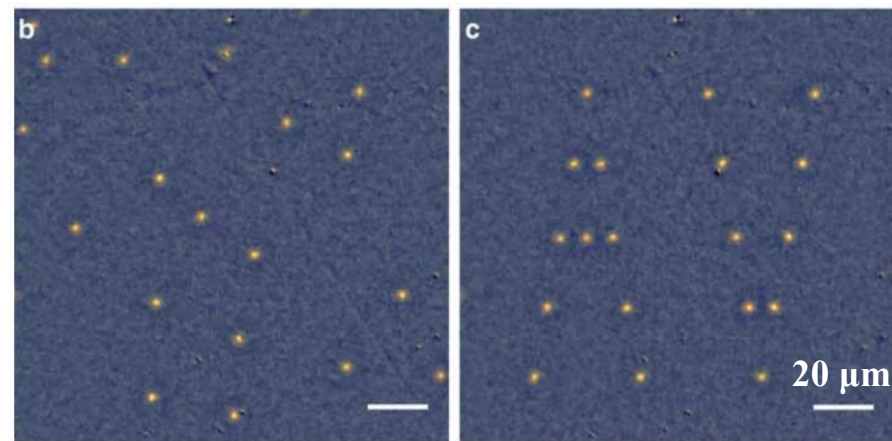
Манипуляция вихрями Абрикосова при помощи лазера

S. Veshchunov, W. Magrini,
V. Mironov, A. G. Godin,
-B. Trebbia, A. I. Buzdin,
n. Tamarat & B. Lounis

Optical manipulation of
single flux quanta”
Nature Communications
Volume 7, 12801 (2016)

$$\lambda(x) \sim [1 - (T(x)/T_c)]^{-1/2}$$

???



Тянущий потенциал

Рассмотрим искусственную ситуацию: сверхпроводник с переменной $\xi(x)$ и постоянной λ .

Направим ось x в направлении возрастания ξ .

Приложено внешнее поле H_0 .

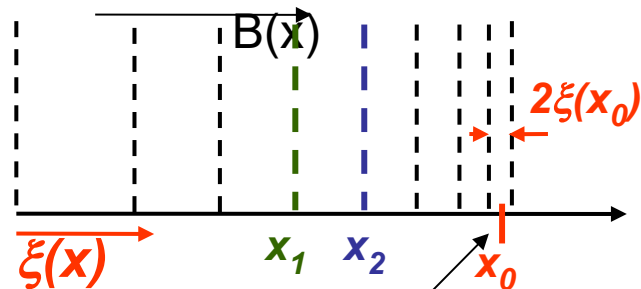
$$\varepsilon_1 = \frac{\Phi_0^2}{4\pi\mu_0\lambda^2} \ln \kappa(x) = \varepsilon_1(x) \quad \kappa(x) = \lambda / \xi(x)$$

На вихри действует сила, связанная с изменением
потенциальной энергии вихря:

$$\varepsilon_1 = (\Phi_0^2 / 4\pi\mu_0\lambda^2) \ln \lambda / \xi(x) \rightarrow f = - \partial \varepsilon / \partial x \quad [d\xi / dx] / \xi(x) > 0$$

Неоднородная концентрация
вихрей (рост).

Плотность вихрей

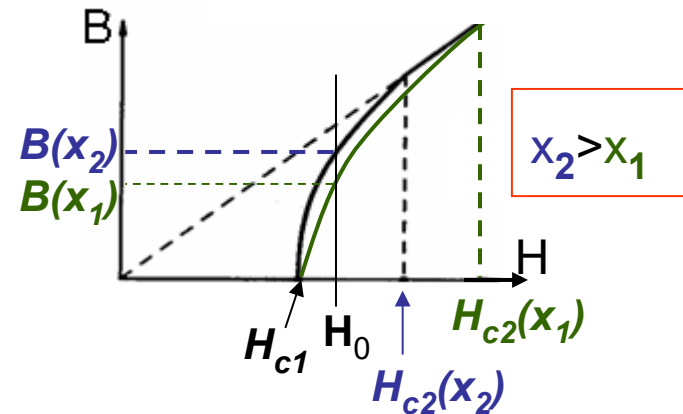


$H_{c2}(x)$ убывает: $H_{c2} = \Phi_0 / 4\mu_0\xi^2$

$$B = H_{c2}(x_0)$$

$$H_{c2} = \Phi_0 / 4\mu_0 \xi^2$$

Макроскопический сверхток



Изменение H_{c2} вызывает локальное изменение кривой перемagnetничивания (сжатие). Значит $M = M(x)$, $B = B(x)$.

Возникает $\text{grad } B$ и связанный с этим ток:

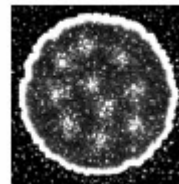
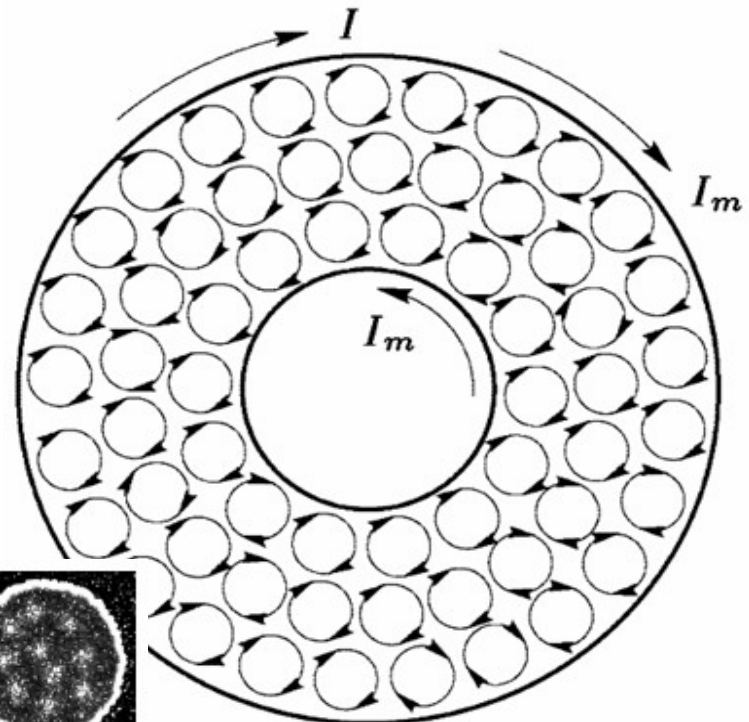
$$j = (1/\mu_0) \partial B / \partial x = \partial |M| / \partial x; \text{ и сила Лоренца } f = [j, \Phi_0].$$

$$H_{c1} = [\Phi_0 / (4\pi\lambda^2)] \ln \kappa(x)$$

$$\kappa(x) = \lambda / \xi(x)$$

$$B = H - |M|$$

1. Круговые токи соседних одноименных вихрей локально компенсируют друг друга.
2. Если есть градиент концентрации вихрей, то возникает средний сверхток из-за неполной компенсации локальных токов.
3. Усредненный (макроскопический) сверхток подчиняется уравнениям Максвелла и взаимодействует с вихрями посредством силы Лоренца.



Магнитный момент при $H \gg H_{c1}$

$$\varepsilon_1 = (\Phi_0^2 / 4\pi\mu_0\lambda^2) \ln \lambda / \xi(x) \quad \rightarrow \quad f = - \partial \varepsilon / \partial x$$

$$\text{Сила Лоренца: } \mathbf{f} = [\mathbf{j}, \mathbf{F}_0] \quad \rightarrow \quad f_L = \Phi_0 \partial |\mathbf{M}| / \partial x$$

В стационарном состоянии сила Лоренца уравновешивается градиентом энергии вихрей $d\varepsilon_1/dx$:

$$\Phi_0 \partial |\mathbf{M}| / \partial x + d\varepsilon_1/dx = 0, \quad \text{где } \varepsilon_1 = [\Phi_0^2 / (4\pi\mu_0\lambda^2)] \ln \kappa = [\Phi_0^2 / (4\pi\mu_0\lambda^2)] * [\ln \lambda - \ln \xi(x)],$$

Дифференцируем логарифм:

$$d\varepsilon_1/dx = -[\Phi_0^2 / (4\pi\mu_0\lambda^2)] [1/\xi(x)] (d\xi/dx);$$

Выражаем $|M(x)|$ через $\xi(x)$:

$$d |\mathbf{M}| / dx = [\Phi_0 / 4\pi\mu_0\lambda^2] [1 / \xi(x)] (d\xi / dx)$$

Интегрируем:

$$|\mathbf{M}|(x, H) = [\Phi_0 / 4\pi\mu_0\lambda^2] \ln [\xi(x) / l(H)], \quad \text{где}$$

$l = l(H)$ – постоянная интегрирования.

Магнитный момент при $H \gg H_{c1}$

$$|M|(x, H) = [\Phi_0 / (4\pi\mu_0\lambda^2)] \ln[\xi(x) / l(H)] \quad (5.10), \text{ где}$$

$l = l(H)$ – постоянная интегрирования.

В каждом поле $H \gg H_{c1}$ можно найти точку $x_0(H)$, где данное поле $H_{c2} = H_0$, $M = 0$ т.е. в этой точке $\xi(x_0) / l(H) = 1$ или $l(H) = \xi(x_0)$.

Переобозначим:

$$|M|(x, H) = [\Phi_0 / (4\pi\mu_0\lambda^2)] \ln [\xi(x) / \xi(x_0)]$$

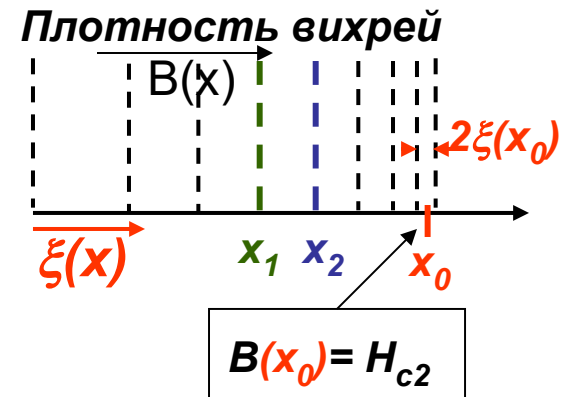
Выразим $\xi(x_0)$ через H_{c2} : $\xi(x) = [\Phi_0 / 4\mu_0 H_{c2}(x)]^{1/2}$ & $\xi(x_0) = [\Phi_0 / 4\mu_0 H_0]^{1/2}$

Разделим выражения друг на друга:

$H_{c2}(x)$ убывает: $H_{c2} = \Phi_0 / 4\mu_0 \xi(x)^2$

$$\xi(x) / \xi(x_0) = [\mu_0 H_0 / B_{c2}(x)]^{1/2}$$

$$|M|(x, H) = [\Phi_0 / (8\pi\mu_0\lambda^2)] \ln [\mu_0 H_0 / B_{c2}(x)]$$



Приложено внешнее поле H_0 .

Магнитный момент при $H \gg H_{c1}$

$$|M| (x, H) = [\Phi_0 / (8\pi\mu_0\lambda^2)] \ln [\mu_0 H / B_{c2}(x)]$$

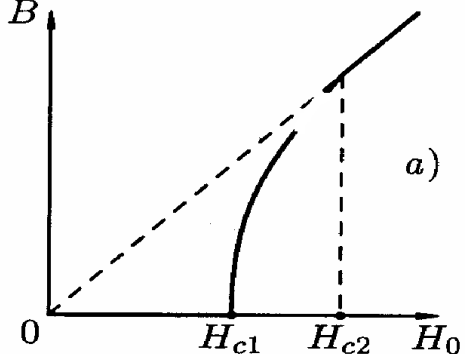
Подставим в (5.10) и получим формулу для $M(H)$, пригодную в случае $H \gg H_{c1}$,

$\kappa \gg 1$ и для однородного $\xi = \text{const}$, $H_{c2} = \text{const}(x)$ сверхпроводника II рода:

$$M(H) = [\Phi_0 / (4\pi\mu_0\lambda^2)] \ln[H / H_{c2}]^{1/2} = [\Phi_0 / (8\pi\mu_0\lambda^2)] \ln[H / H_{c2}] < B$$

$$B = \mu_0(H + M) = \mu_0 H + [\Phi_0 / 8\pi\lambda^2] \ln[H / H_{c2}]$$

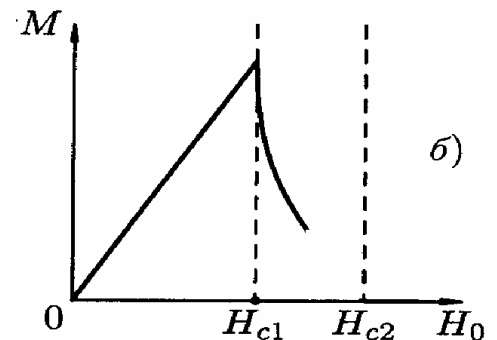
$\ln(1 - \delta)$



Что делать с логарифмом? Где малый параметр?

При H близких к H_{c2} :

$$\text{Запишем } H / H_{c2} = (H_{c2} - H_{c2} + H) / H_{c2} = 1 - (H_{c2} - H) / H_{c2} = 1 - \delta,$$



Магнитный момент вблизи H_{c2}

$$M = - [\Phi_0 / (8\pi\mu_0\lambda^2)] \ln [1 - \delta] \quad \delta = (H_{c2} - H) / H_{c2}$$

Разложим $\ln(1 - \delta) \approx -\delta$, тогда вместо (5.11) имеем:

$$M = [\Phi_0 / 8\pi \mu_0 \lambda^2] \ln[H / H_{c2}] = - [\Phi_0 / 8\pi \mu_0 \lambda^2] (H_{c2} - H) / H_{c2}$$

$$M = - [\xi^2 \Phi_0 / 4 * 2\pi\mu_0 \xi^2 \lambda^2] (H_{c2} - H) / H_{c2}$$

$$\Phi_0 / (2\pi\mu_0 \xi^2) = H_{c2}$$

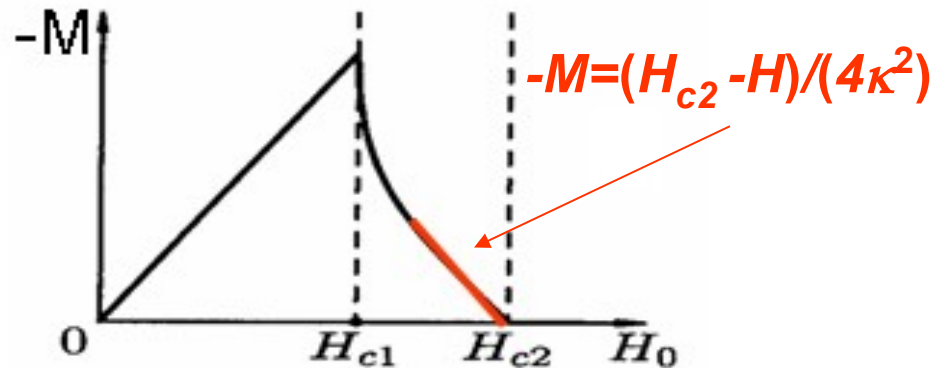
$$M = - [1/4\kappa^2] H_{c2} (H_{c2} - H) / H_{c2}$$

$$-M = (H_{c2} - H) / 4\kappa^2$$

Точный ответ:

$$-M = (H_{c2} - H) / [1.16(2\kappa^2 - 1)],$$

близок к (5.11a) при $\kappa \gg 1$.



Линейная аппроксимация
для определения H_{c2} .

Тема 4

Пиннинг

$\text{LuNi}_2\text{B}_2\text{C}$

$B=235 \text{ Gs}$

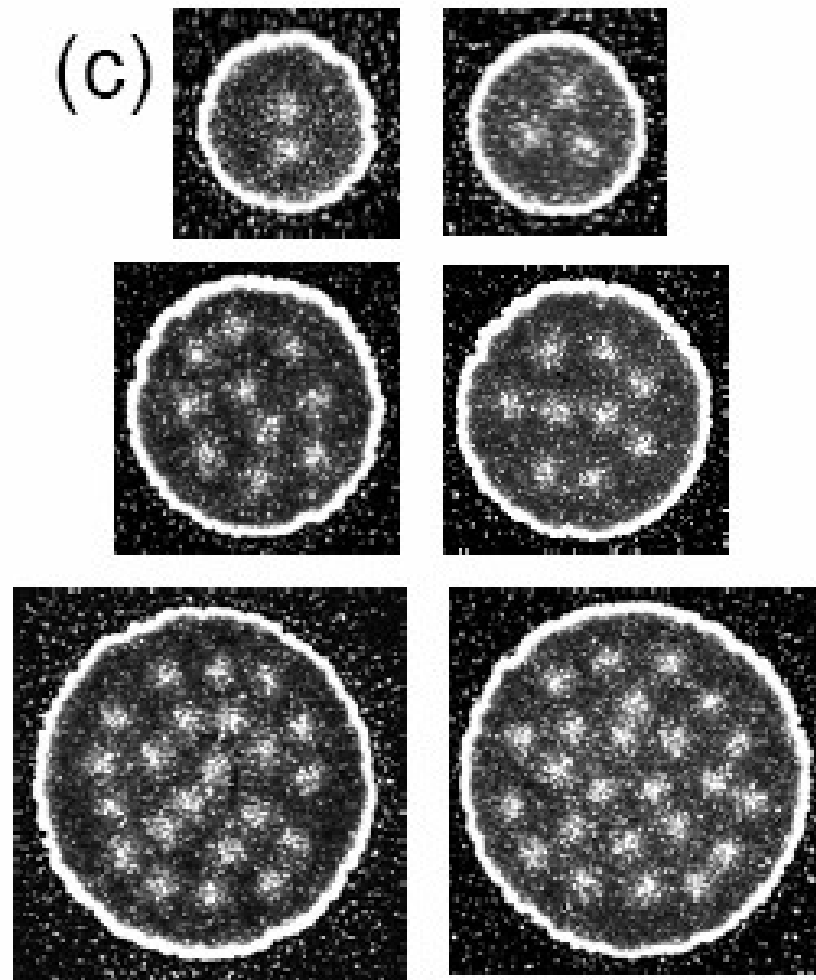
$2 \mu\text{m}$

$B=1340 \text{ Gs}$

$1 \mu\text{m}$

Пиннинг абрикосовских вихрей

(c)



$5 \mu\text{m}$

Пиннинг = пришпиливание, закрепление

Пиннинг абрикосовских вихрей

Энергия вихря частично связана с **энергией кора**: $\varepsilon_1 = [\Phi_0^2 / (4\pi\mu_0\lambda^2)](\ln\kappa + \mathbf{0.5})$

Чтобы не терять энергию на подавление сверхпроводимости в области кора, вихрь старается расположить его в дефектных областях с подавленной сверхпроводимостью (**пиннинг**, “пришпиливание” вихрей дефектами).

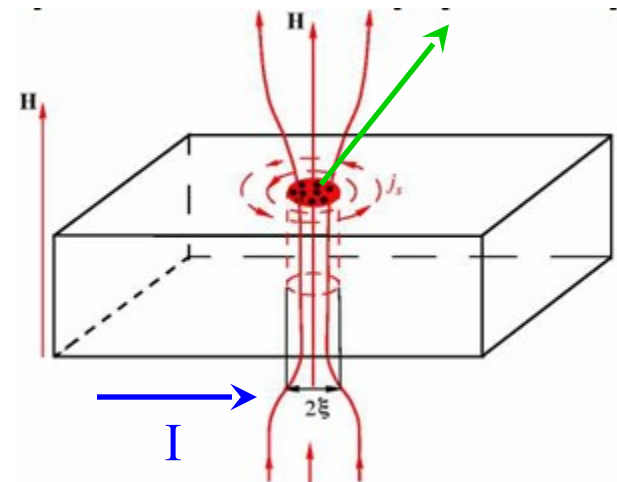
Перемещение вихря с этих участков требует преодоления силы пиннинга F_p .

Основной вопрос: какой электрический ток необходимо пропустить, чтобы сорвать вихрь с центра пиннинга?

Оценка силы пиннинга: $F_p = -\partial\varepsilon / \partial x \sim -\Delta\varepsilon / \Delta x$

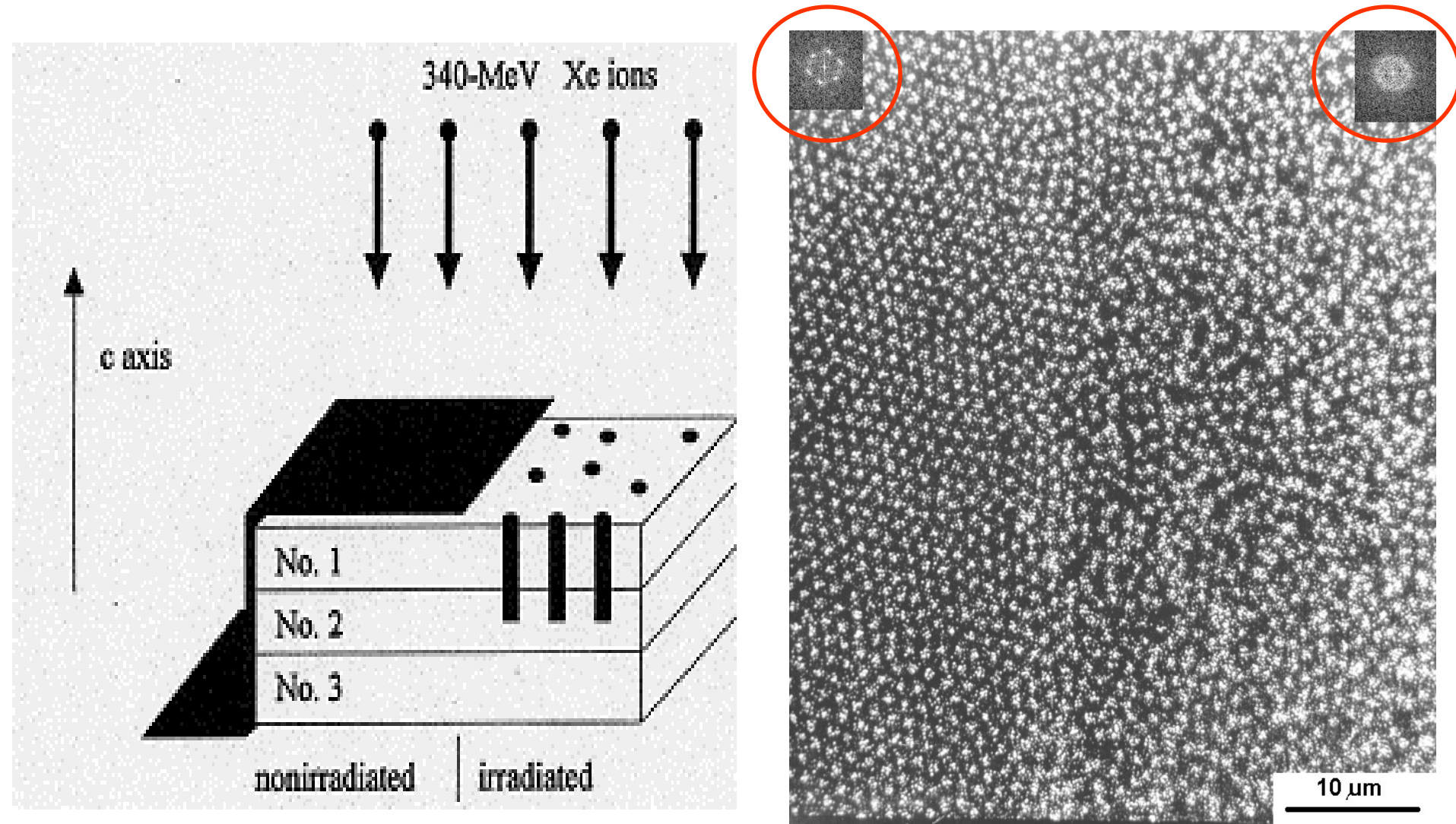
$\Delta\varepsilon$ – энергия сверхпроводящего упорядочения в объеме дефекта.

$\Delta x = \xi$ – размер области нормального состояния.



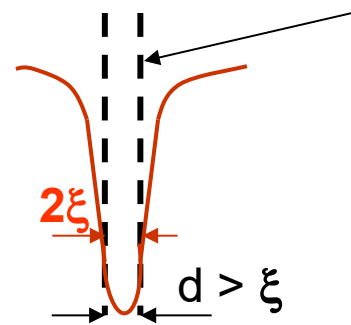
Баланс сил: сила Лоренца $\mathbf{F}_L = [\mathbf{j}_c, \Phi_0]$ должна превзойти силу пиннинга \mathbf{F}_p .

Flux Line Lattice destruction by columnar defects in BSCCO



M.Leghissa, L.A.Gurevich, M.Kraus, G.Saemann-Ischenko, L.Ya.Vinnikov,
Observation of a disordered vortex state in $\text{Bi}_2\text{Sr}_2\text{CaCu}_2\text{O}_{8+x}$ single crystals containing columnar defects,
Physical Review B, volume 48, number 2, 1341-1344, (1993)

Пиннинг на линейных (колумнарных) дефектах



Выигрыш в энергии при размещении ко^ра вихря на ко^лумнарном де^ффекте:

$$\Delta \varepsilon \sim (\mu_0 H_{cm}^2 / 2) \pi \xi^2 - \text{на единицу длины вихря}$$

Сила пиннинга на единицу длины вихря:

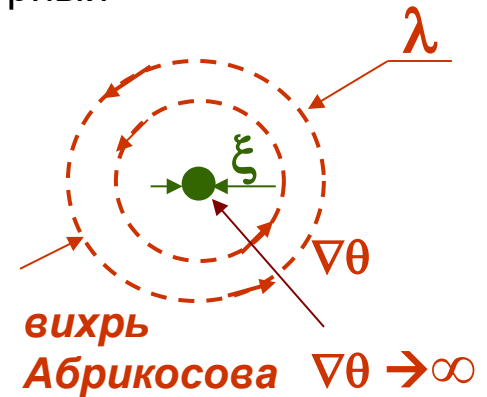
$$F_p = d\varepsilon / dx = \Delta \varepsilon / \Delta x, \text{ где } \Delta x \sim \xi\text{-характерный}$$

$$F_p \sim (\mu_0 H_{cm}^2 / 2) \pi \xi^2 / \xi = (\mu_0 H_{cm}^2 / 2) \pi \xi;$$

$$F_p = F_L = j_p \Phi_0 \rightarrow j_p \Phi_0 = (\mu_0 H_{cm}^2 / 2) \pi \xi;$$

$$j_p \sim [\mu_0 H_{cm}^2 / (2\Phi_0)] \pi \xi$$

*размер изменения
потенциала*



$$\sqrt{2} \mu_0 H_{cm} = \Phi_0 / (2\pi \lambda \xi), \quad j_p = H_{cm} [\mu_0 H_{cm} / \Phi_0] \pi \xi = H_{cm} / \{2 \sqrt{2} \mu_0 \lambda\}, \quad \square$$

$$j_p \sim H_{cm} / (4 \sqrt{2} \lambda) \sim j_{ггл}, \text{ поскольку } j_{ггл} = [2 \sqrt{2} / (3 \sqrt{3})] (H_{cm} / \lambda)$$

$$H_{cm} \sim 10^3 \text{ Э} = 10^5 \text{ А/м}, \quad \lambda \sim 100 \text{ нм} \rightarrow j \sim 10^{12} \text{ А/м}^2 = 10^8 \text{ А/см}^2$$

Пиннинг на точечных дефектах

Точечный дефект — локальное несверхпроводящее включение с размерами $\sim d < \xi$.

Каждый вихрь может взаимодействовать со множеством дефектов.

Выигрыш в энергии при размещении кода вихря на дефекте в расчете на один дефект:

$$\Delta\varepsilon < (1/2)\mu_0 H_{cm}^2 (4/3)\pi\xi^3.$$

Сила пиннинга на один дефект: $F_p = \Delta\varepsilon / \xi < (2/3) \mu_0 H_{cm}^2 \pi \xi^2$

Пусть n_d — объемная плотность дефектов. $[n_d] = 1 / \text{м}^3$

Вихрь взаимодействует с $n_d \pi \xi^2 \gg 1$ дефектов на единицу длины.

На единицу длины: $f_L = f_p$; $j_p \Phi_0 = (2/3)\mu_0 H_{cm}^2 \pi^2 \xi^4 n_d$, $j_p = \mu_0 H_{cm}^2 \pi^2 \xi^4 n_d / \Phi_0$

$$j_p = \mu_0 H_{cm}^2 \pi^2 \xi^2 n_d / \Phi_0$$

$$j_s < (\Phi_0 / 12 \mu_0) n_d \kappa^{-2} = 2 \cdot 10^{-7} n_d A^* m$$

$$n_d (j_p = 10^{12} \text{ A/m}^2) \sim 10^{19} \text{ м}^{-3} = 10^{13} \text{ см}^{-3}$$

$$1 \text{ вихрь: } n_d \pi \xi^2 / 1 \text{ м} \sim 10^3 \text{ дефектов @ } \xi \sim 10 \text{ nm}$$

$$\sqrt{2} \mu_0 H_{cm} = \Phi_0 / (2 \pi \lambda \xi),$$

$$\pi H_{cm} \xi = \Phi_0 / (2 \mu_0 \lambda)$$

$$\text{Ток пиннинга на один дефект: } j_p = (2/3)\mu_0 H_{cm}^2 \pi \xi^2 = (\Phi_0 / 12 \mu_0) \kappa^{-2} \xi^{-2} / 1 \text{ м} \sim 10^5 \text{ A/cm}^2$$

КОЛЛЕКТИВНЫЙ ПИННИНГ

Точечный дефект — локальное несверхпроводящее включение с размерами $\sim d < \xi$.

Пусть у нас есть один запиннигованный вихрь и много свободных.

Выигрыш в энергии при размещении кода вихря на дефекте в расчете на один дефект:

$$\Delta \varepsilon < (1/2) \mu_0 H_{cm}^2 (4/3) \pi \xi^3 F_p = \Delta \varepsilon / \xi < (2/3) \mu_0 H_{cm}^2 \pi \xi^2.$$

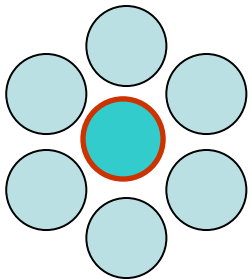
Сила пиннинга на один дефект: $F_p = \Delta \varepsilon / \xi < (2/3) \mu_0 H_{cm}^2 \pi \xi^2$

$$B \cdot 1 \text{ м}^2 = n_v \Phi_0, \quad n_v = B / \Phi_0$$

Пусть n_d — объемная плотность дефектов. $[n_d] = 1 / \text{м}^3$

Пусть n_v — поверхностная плотность вихрей. $[n_v] = 1 / \text{м}^2$

На единицу длины вихрей: $f_L = f_p$; $n_v j_p \Phi_0 = (2/3) \mu_0 H_{cm}^2 \pi \xi^2 n_d$,



Сила Лоренца действует на все вихри (7).

Для начала движения красный вихрь должен растолкать запиннигованные голубые.

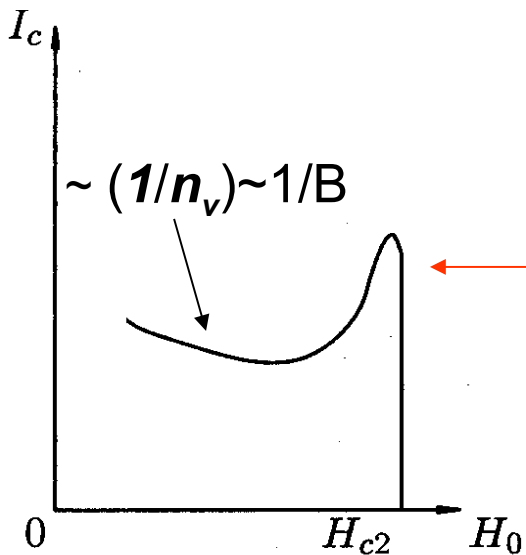
Сила пиннинга действует на 6 вихрей.
Коллективный пиннинг.

$$j_p = (n_d / n_v) (2/3) \mu_0 H_{cm}^2 \pi \xi^2 / \Phi_0$$

$$j_s < (n_d / n_v) (\Phi_0 / 12 \mu_0) \kappa^{-2} \xi^{-2}$$

$$\sim 1 / B$$

Пиннинг на точечных дефектах

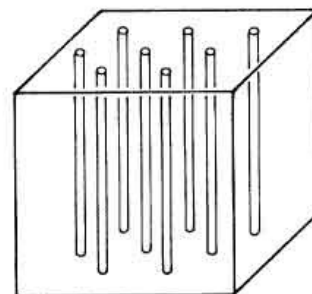
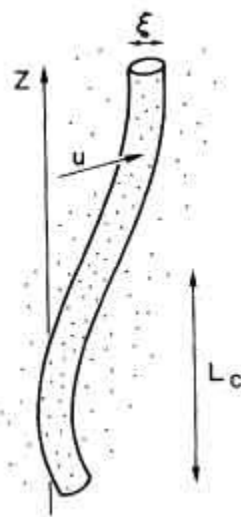


Упругие модули сильно уменьшаются
вблизи H_{c2} , где наблюдается “пик-эффект”.

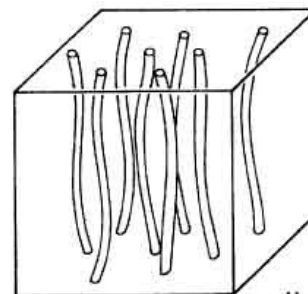
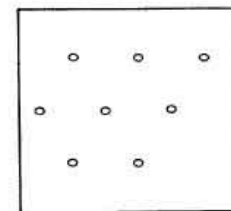
$$j_p < (n_d/n_v)(H_{cm}^2/H_{c2})$$

Проигрыш в энергии за счет удлинения вихревой линии сравнивается выигрышем от поглощения центра пиннинга.

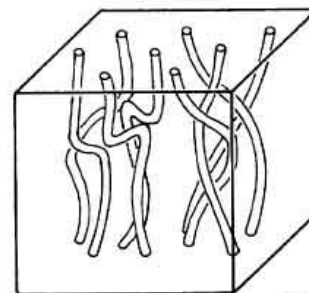
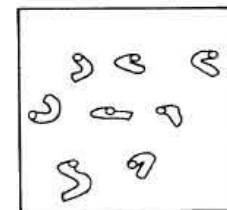
Около H_{c2} вихри становятся мягкими.



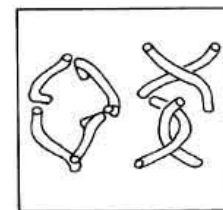
lattice



disentangled liquid



entangled liquid

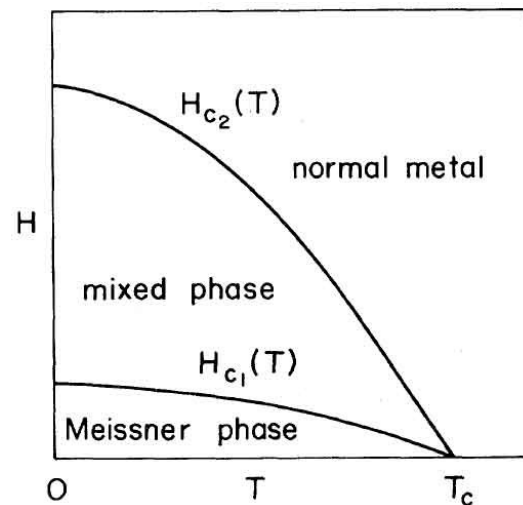
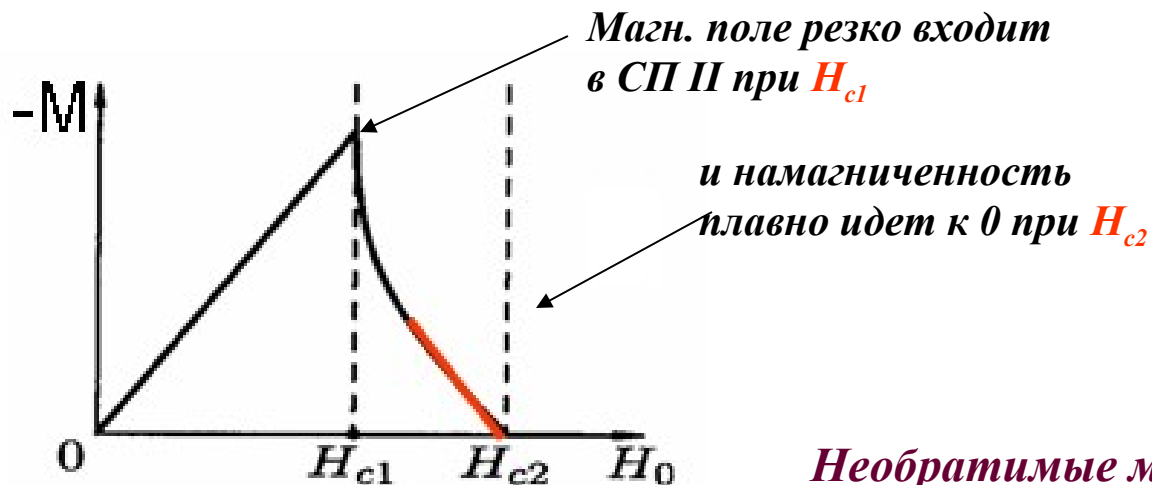


Тема 3.

Необратимые (гистерезисные)

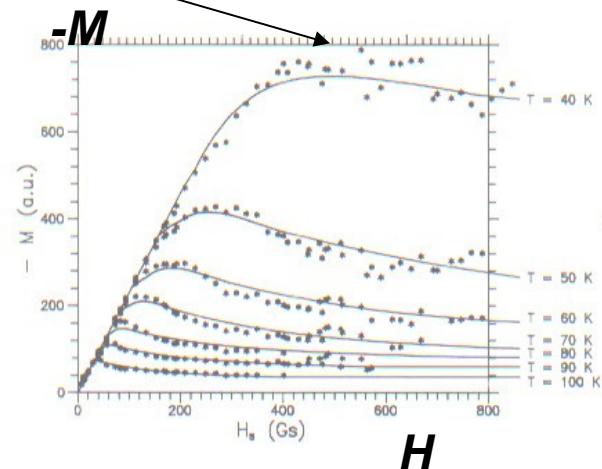
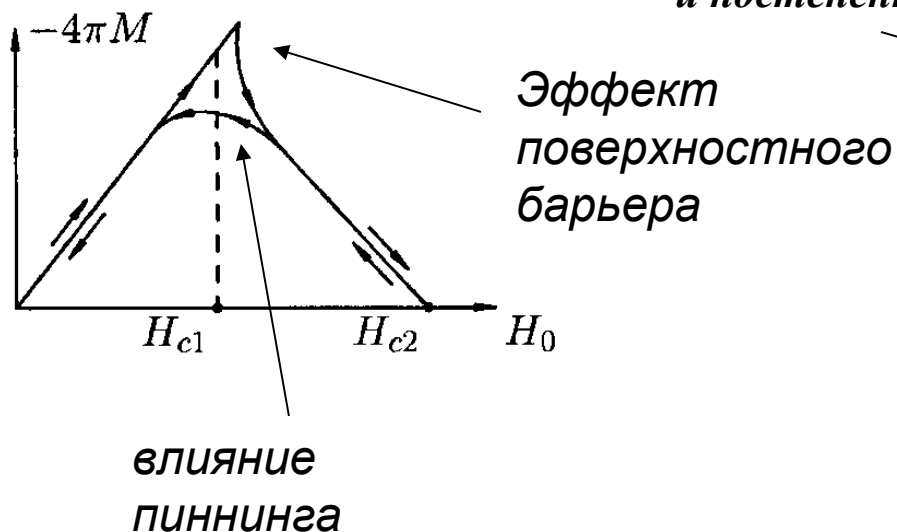
магнитные свойства сверхпроводников 2 рода

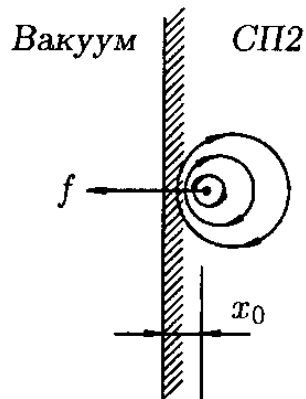
Обратимые магнитные свойства СП II



Необратимые магнитные свойства

Реально – входит при больших полях и постепенно заполняет СП II





Взаимодействие вихрей Абрикосова с поверхностью сверхпроводника

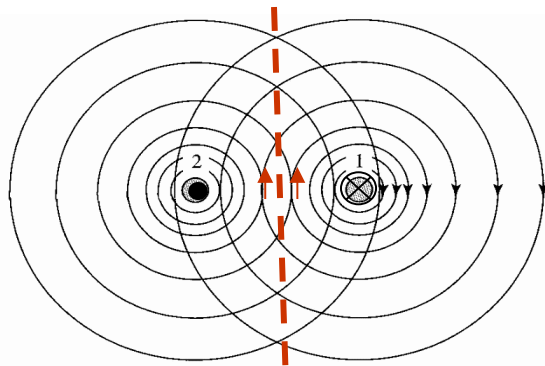
Притяжение: пиннинг

Бернулли

Изображение

$$\rho v^2/2 + p = \text{const}$$

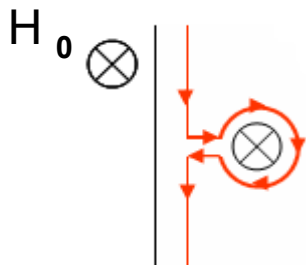
Зарождение: у границы + движение внутрь.



Из-за притяжения к границе реальное поле вхождения вихрей больше H_{c1} .

В связи с этим употребляют термины:

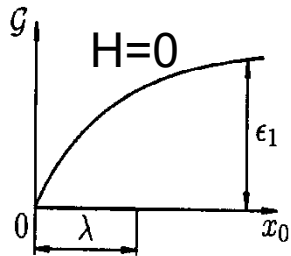
- “перегрев” мейсснеровского состояния;
- поверхностный барьер для вхождения вихрей;
- Барьер Бина-Левингстона



Данное состояние является **неравновесным**.(???)

Потенциальный рельеф около поверхности сверхпроводника

Пусть x_0 – координата центра вихря.



Энергия единицы вихря G уменьшается при приближении к границе, поскольку тянущая сила $f = -dG/dx$ направлена к поверхности.

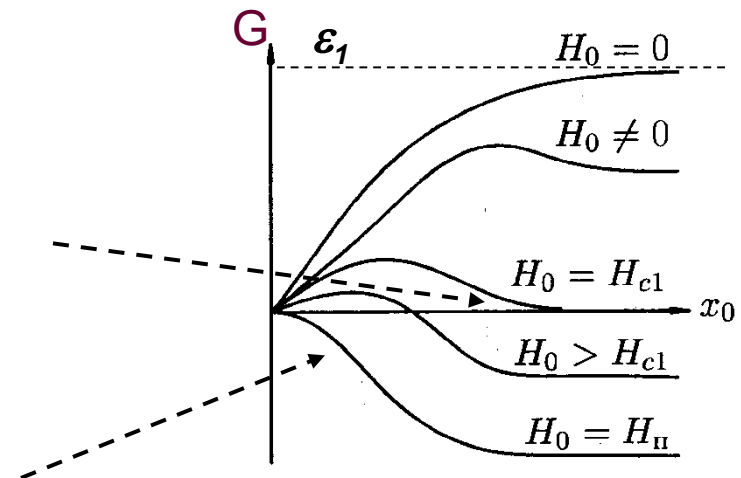
С удалением от границы взаимодействие меняется на отталкивание за счет взаимодействия с мейснеровским экранирующим током (при $H \neq 0$).

При включении магнитного поля полная гиббсовская энергия вихря в глубине сверхпроводника

$$G = F - \int \mathbf{B} \mathbf{H} d\mathbf{S} = F - H\Phi_0$$

понижается ($G = \epsilon_1 - H\Phi_0$), сравниваясь с нулем при $H = H_{c1}$.

Поверхностный барьер полностью исчезает при больших полях $H_p > H_{c1}$.



Барьер Бина-Левингстона

Взаимодействие вихря с границей аналогично взаимодействию вихря с “изображением”, т.е. вихрем противоположного знака, расположенным на таком же расстоянии по другую сторону поверхности.

$$f_{из} = \Phi_0 j_{из} = \Phi_0 dH_{из}/dx$$

В поле мейсснеровские токи отталкивают вихрь, создавая “бугор” вблизи границы:

$$f_{Мейсс} = \Phi_0 j_{Мейсс} = -(1/\mu_0) \Phi_0 dB_{Мейсс}/dx$$

$$f = f_{из} + f_{Мейсс} = (\Phi_0 / \mu_0) [dB_{из}/dx + dB_{Мейсс}/dx]$$

$f = -dG/dx_0$, где x_0 – координата центра вихря.

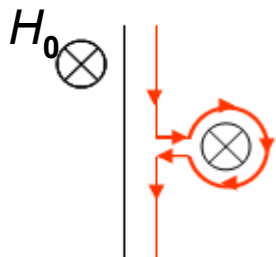
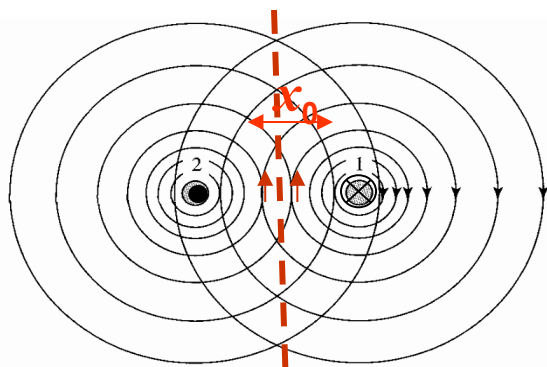
$$G = -\int f dx = -(\Phi_0/\mu_0) B_{из}(2x_0) + (\Phi_0/\mu_0) B_n \exp(-x_0/\lambda) + \text{const}$$

$x_0 \rightarrow \infty$, $G \rightarrow \text{const}$, т.е. const - это просто гиббсовский потенциал вихря в поле H_0 :

$$G(\infty) = \text{const} = \varepsilon_1 - \int \mathbf{B} H_0 dV = [\Phi_0^2 / (4\pi\mu_0\lambda^2)] (\ln \kappa + 0.5) - H_0 \Phi_0$$

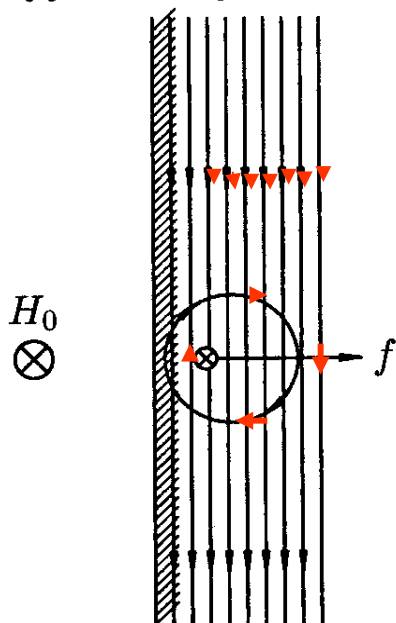
$$|G(\infty)| = \text{const} = \Phi_0 (H_{c1} - H_0)$$

$$H_{c1} \Phi_0$$

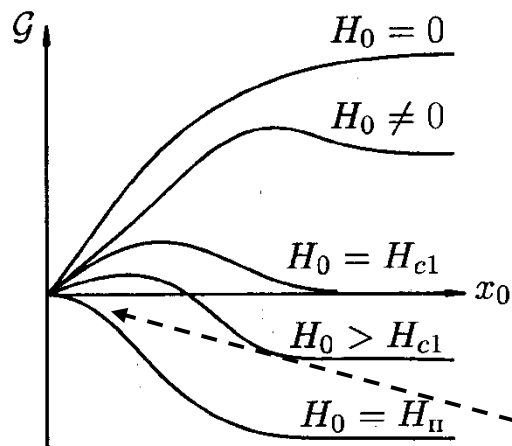


Вакуум

СП2



Поле проникновения через барьер Б-Л



Барьер зануляется при $H_0 > H_{c1}$, тогда

$G(\infty) = \text{const} = \Phi_0 (H_{c1} - H_0)$ имеет отрицательный знак

$$G(x_0) = -(\Phi_0/\mu_0)[B_{\text{из}}(2x_0) - B_{\pi} \exp(-x_0/\lambda)] + \Phi_0 (H_{c1} - H_0)$$

Барьер исчезнет и вихрь будет свободно входить в

образец, когда экстремум (горб) функции $G(x_0)$ окажется

на краю образца. Экстремум функции $G(x_0)$ определяется

из условия: $dG/dx_0 = 0$:

$$dG/dx_0 = -(\Phi_0/\mu_0)[dB_{\text{из}}(2x_0)/dx_0 - (1/\lambda) B_{\pi} \exp(-x_0/\lambda)] = 0$$

$$B_{\text{из}}(2x_0) = -[\Phi_0/(2\pi\lambda^2)]K_0(2x_0/\lambda) \approx -[\Phi_0/(2\pi\lambda^2)] \ln [\lambda/(2x_0)] \quad \text{при } r=2x_0 \text{ поле вихря}$$

см (5.4) при $x \ll \lambda$

Дифференцируем

$$dB_{\text{из}}(2x_0)/dx_0 = \lambda [\Phi_0/(2\pi\lambda^2)] (2x_0/\lambda)(\lambda/2)(1/x_0)^2 = \Phi_0/(2\pi\lambda x_0)$$

Учтем $x_0 \rightarrow 0$, $x_0 \ll \lambda$: $(1/\lambda) B_{\pi} \exp(-x_0/\lambda) \approx (1/\lambda) B_{\pi}$

$$(1/\lambda) B_{\pi} = \Phi_0/(2\pi\lambda x_0)$$

Поле проникновения через барьер Б-Л

$$(1/\lambda) B_{\pi} = \Phi_0 / (2\pi\lambda x_0)$$

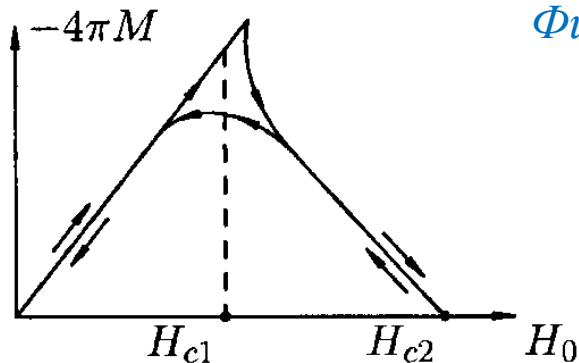
Формально расходится при $x_0 \rightarrow 0$

обрезаем x_0 на ξ при $x_0 \rightarrow 0$

$$B_{\pi} = \Phi_0 / (2\pi\lambda \xi_0) \approx \sqrt{2} \mu_0 H_{cm} \quad (6.7), \text{ поскольку } \sqrt{2} H_{cm} = \Phi_0 / (2\pi\mu_0\lambda\xi)$$

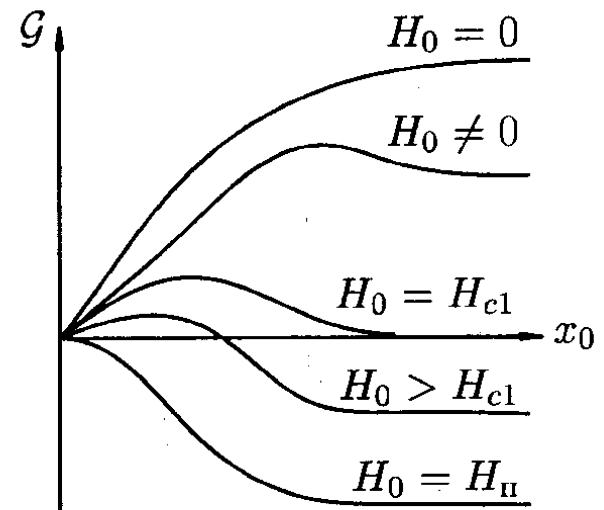
Из точного расчета: $H_{\pi} = H_{cm}$

(а выход при полях меньших H_{c1} !)



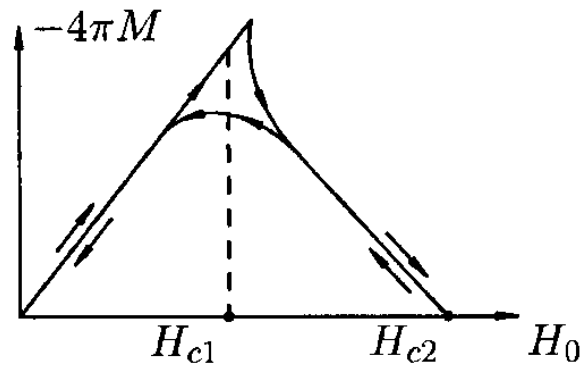
Физический смысл H_{cm}

для СП-2

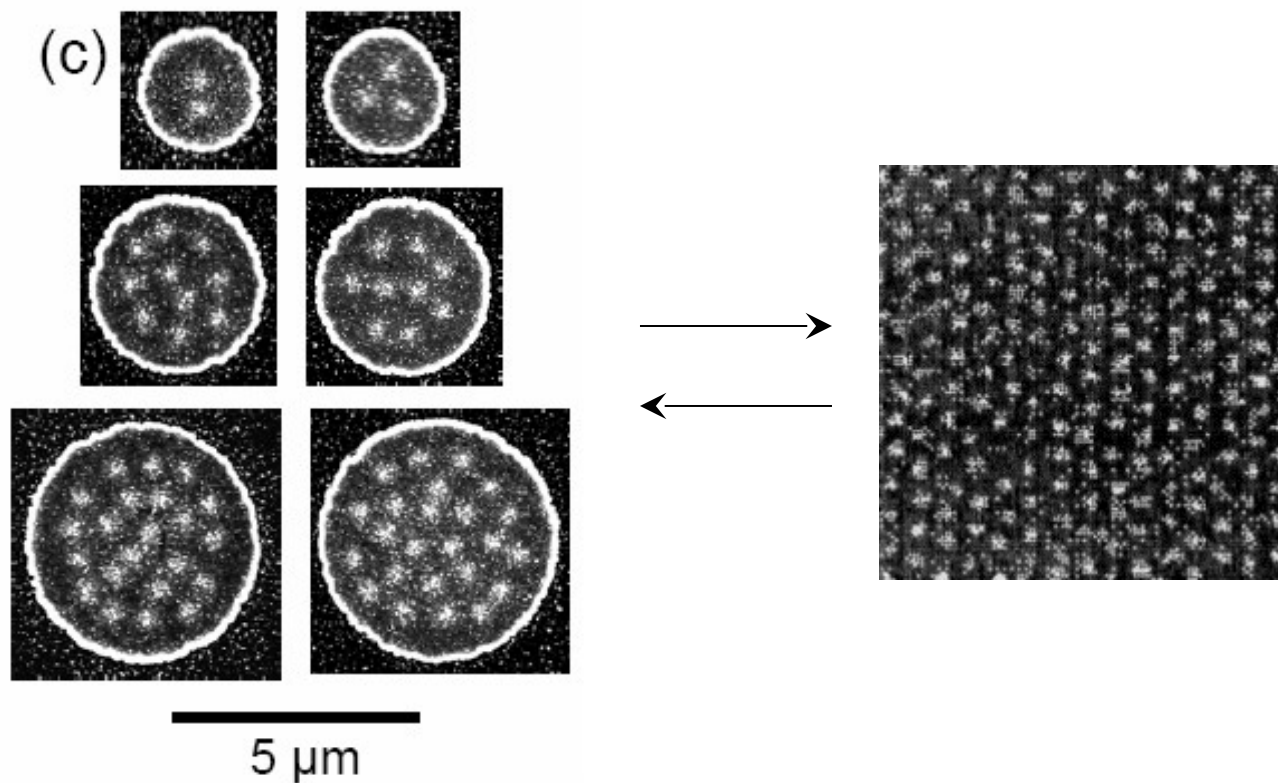


Тема 5

Критическое состояние Модель Бина

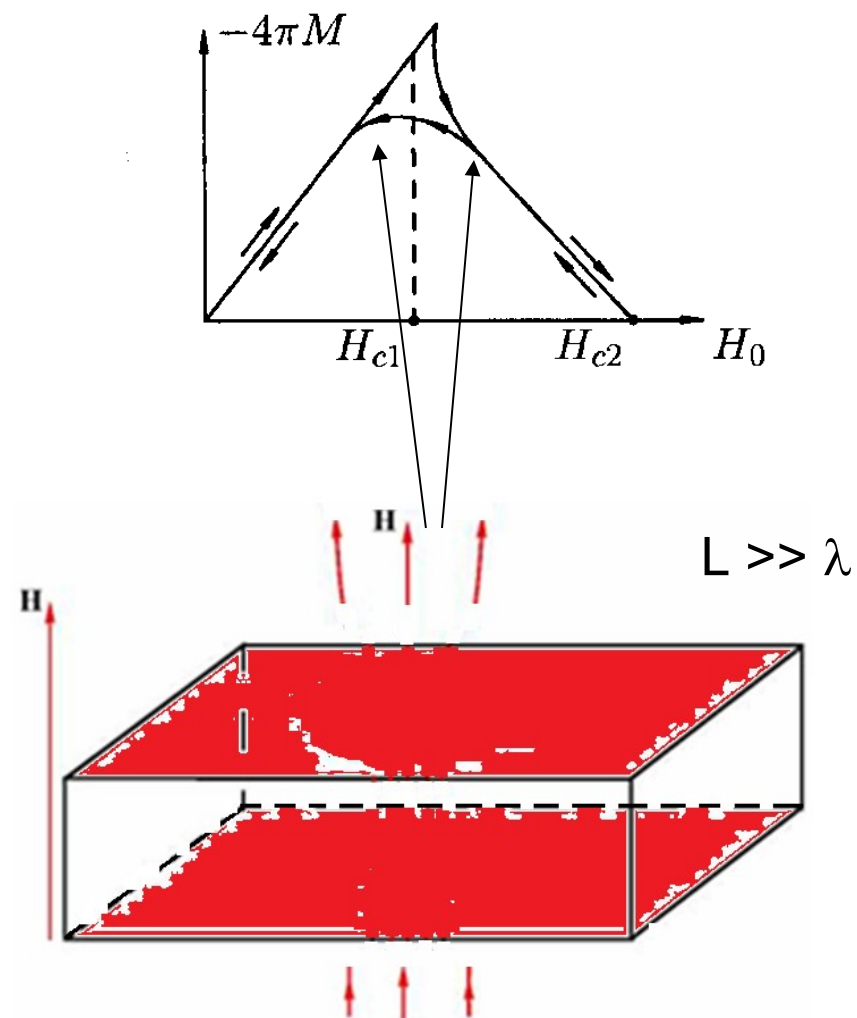
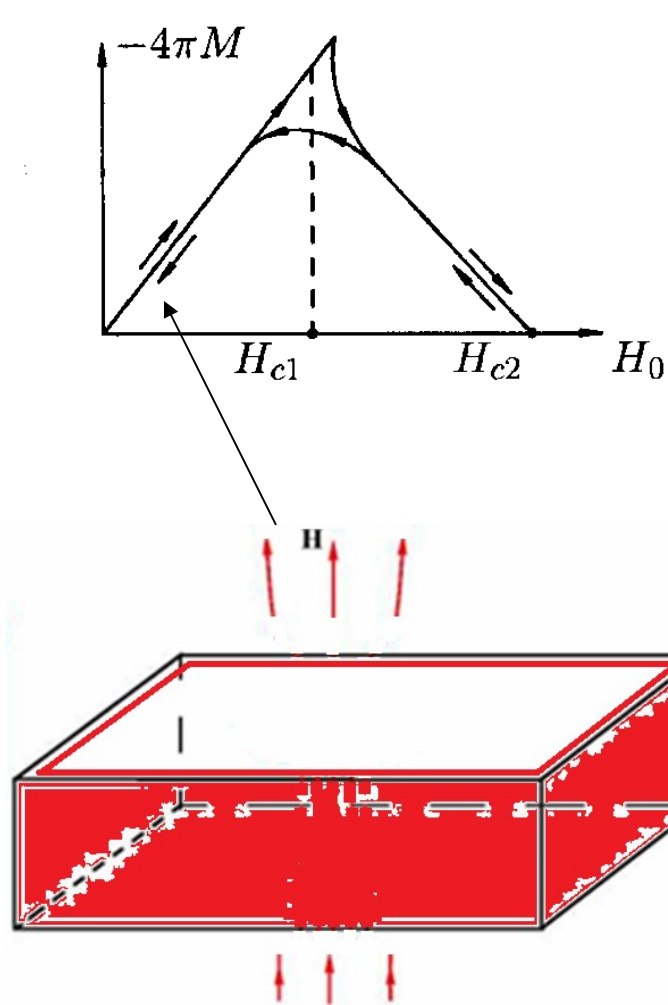


Проникновение вихрей в СП-2

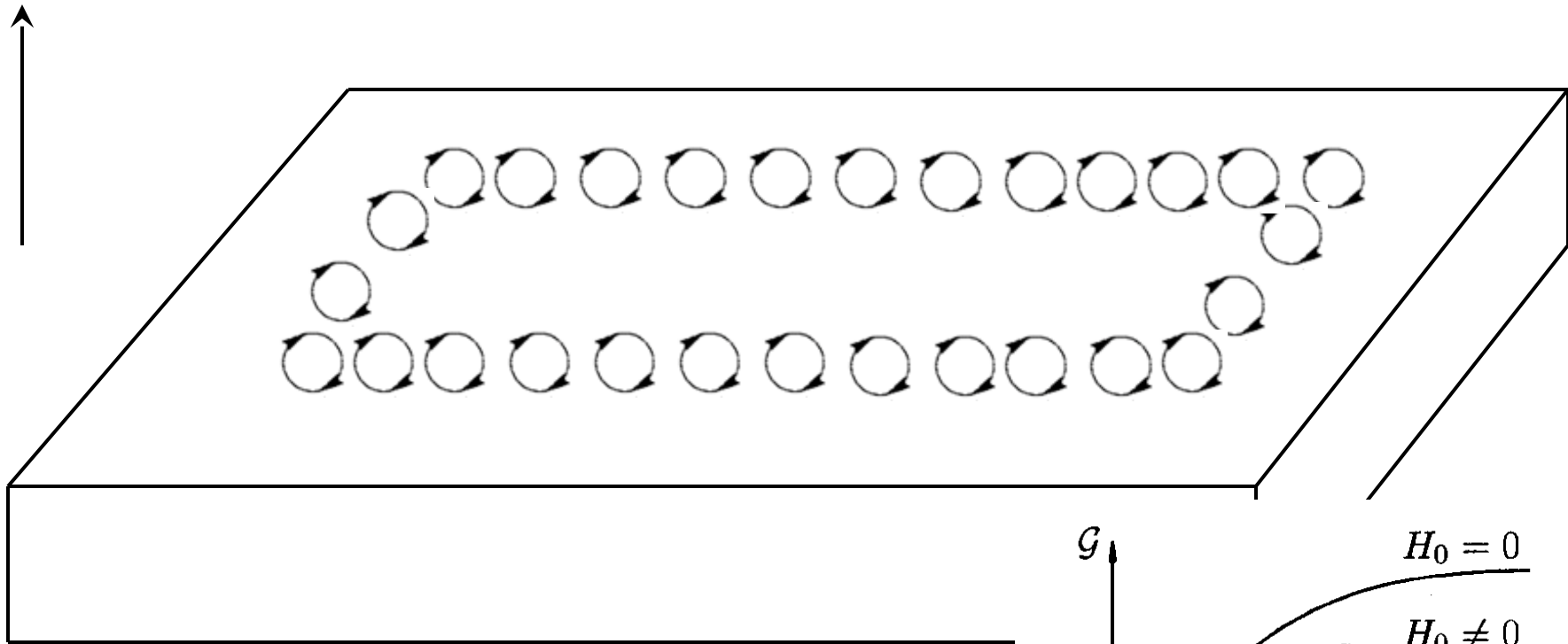


+ Пиннинг

Проникновение сверхпроводящего тока

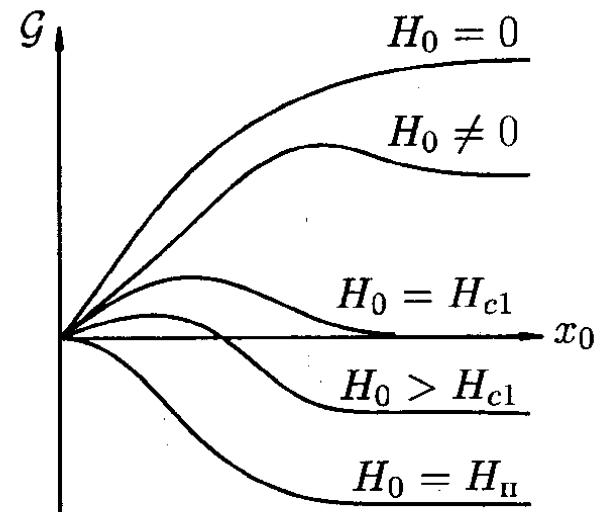


Вход вихрей в сверхпроводник

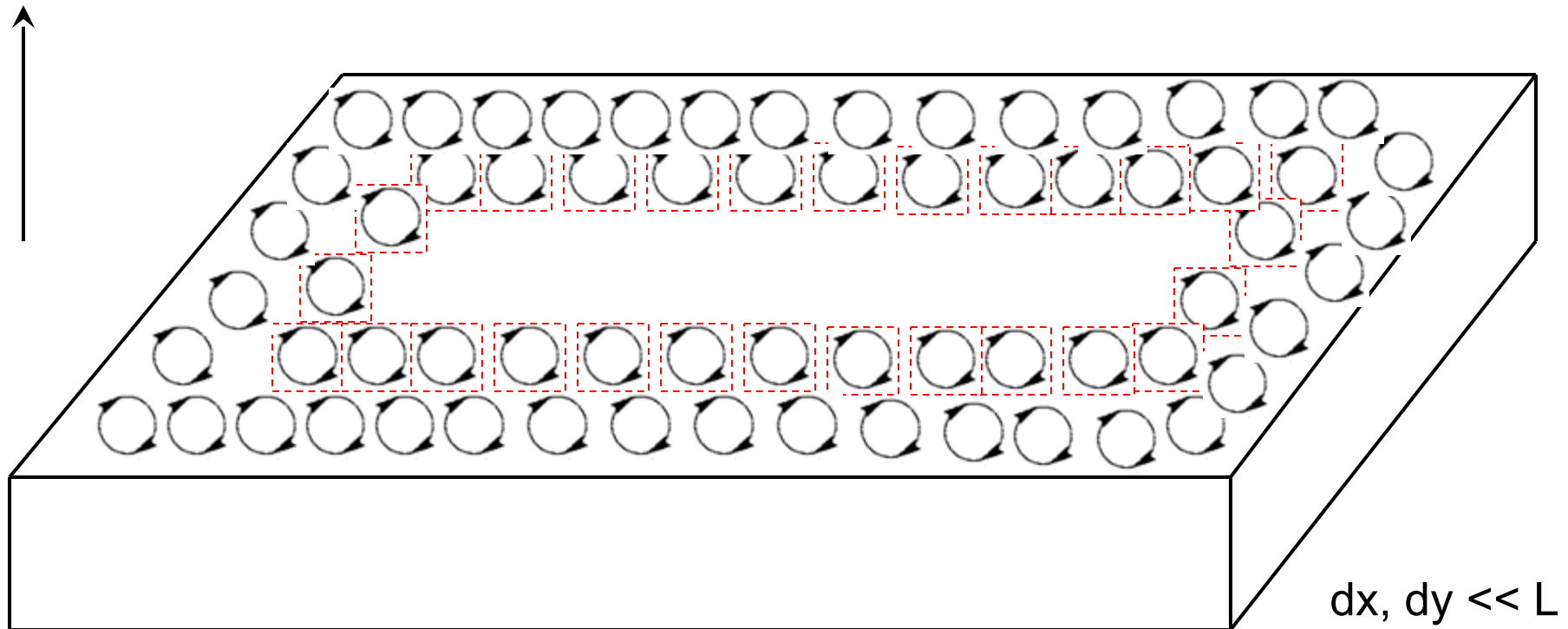


$$f_{из} + f_{мейнс} + f_p = 0$$

$$j_{мейсн} = j_{изо} + j_p$$



Вход вихрей в сверхпроводник



$$f_{из} + f_{мейнс} + f_p + f_{2l} = 0$$

$$j_{мейсн} = j_{изо} + j_p + j_{2l}$$

$$N_1 > N_2 > N_v = 0$$

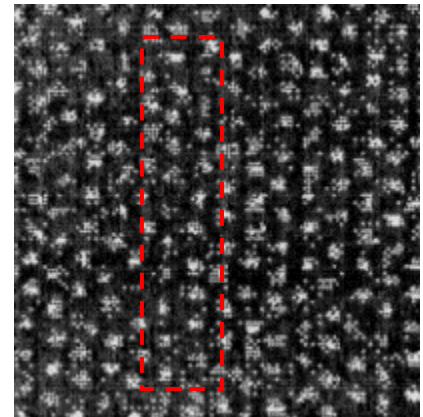
$$N(x) \neq \text{const}$$

$$dN(x) = n(x) dS$$

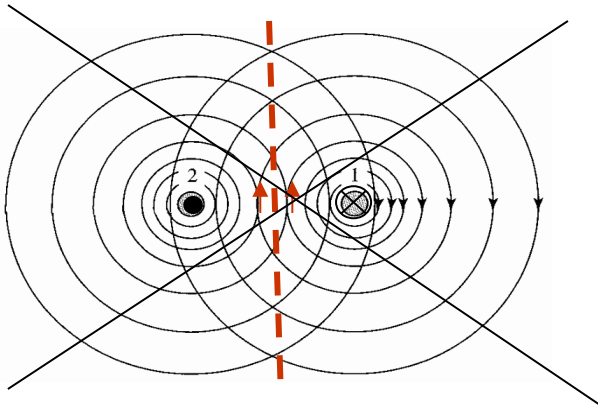
$$d\Phi = \Phi_0 dN(x) = \Phi_0 n(x) dS$$

$$d\Phi/dS = \Phi_0 n(x) dS = \langle B \rangle(x)$$

$$\text{rot } \langle \mathbf{B} \rangle(x) = \langle \mathbf{j}_s \rangle$$



Как протолкнуть вихрь в сверхпроводник

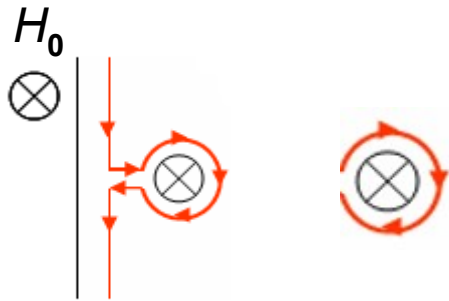


При $x \gg \lambda$

~~$$f_{из} + f_{мейнс} + f_p + f_{2l} = 0$$~~

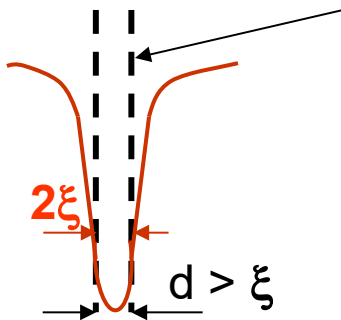
Вихрь срывается с центра пиннинга и продвигается вглубь сверхпроводника при плотности тока равной критической

$$\langle j_s \rangle = \text{rot} \langle \mathbf{B} \rangle(x) > j_p$$

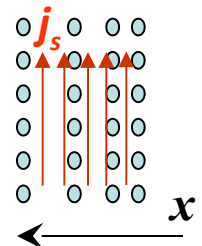


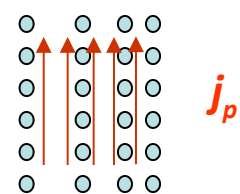
Тогда всюду, куда проник магнитный поток (в образце с однородным распределением одинаковых центров пиннинга) **плотность тока одинакова** j_p и плотность вихрей

$dB / dx = \mu_0 j_p = \text{const}$ *спадает однородно.*

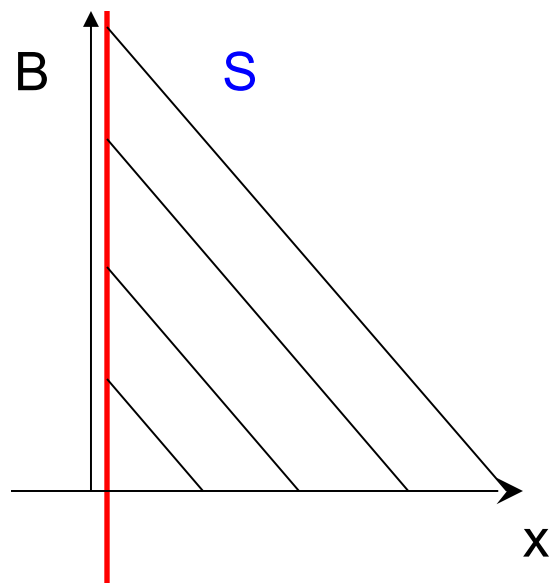


$$dB / dx = d\Phi / dx = \Phi_0 dn/dx$$





Критическое состояние. Модель Бина.



$$dB/dx = \mu_0 j_p = \text{const} \text{ спадает однородно.}$$

Пластина с толщиной $w \gg \lambda$; $H_{c1} < H < H_{c2}$

Поле B^* : проникновение вихрей в центр пластины

$$dB/dx = B^*/(w/2) = \mu_0 j_p; \quad B^* = \mu_0 j_p w/2;$$

$B_0 < B^*$: проникновение на глубину Δ

$$B^*/B_0 = (w/2)/\Delta; \quad \Delta = (w/2)(B_0/B^*);$$

Средн *Найдем намагниченность*

ее по
образ
цу

$$\langle B \rangle = (B_0 \Delta/2)/[w/2] = (B_0/2) [(w/2)/\Delta] = B_0^2/(2B^*);$$

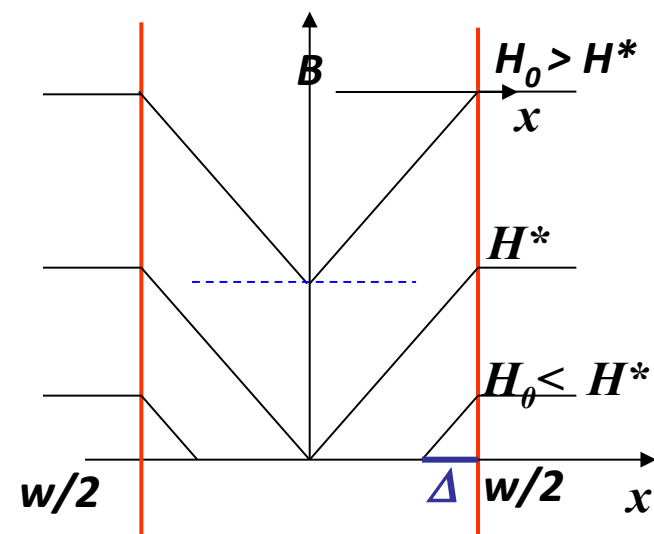
$$- \langle M \rangle = (\mu_0 H_0 - \langle B \rangle) = H_0 [1 - \mu_0 H_0 / (2B^*)]$$

$$B_0 = B^*: \langle B \rangle = B^*/2; \quad - \langle M \rangle^* = B^*/2 = j_p w/4$$

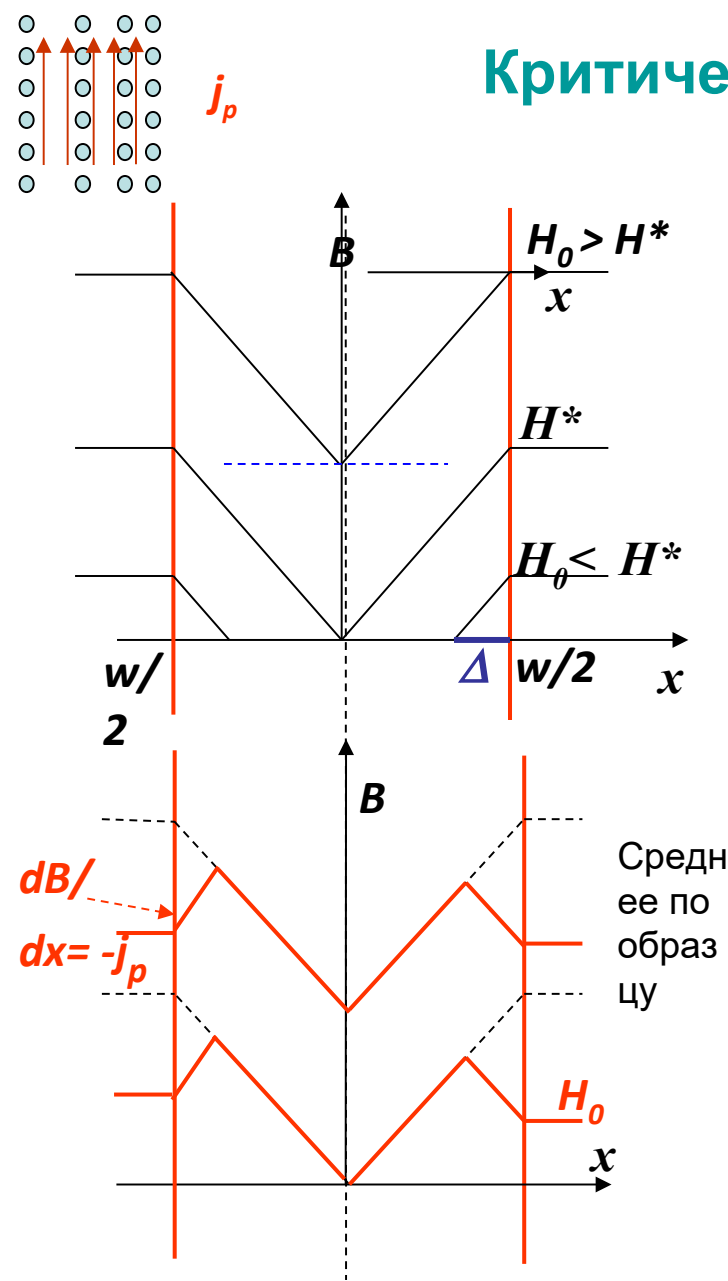
$$B_0 > B^*: \langle B \rangle = \langle B \rangle|_{B^*} + (B - B^*) =$$

$$= B^*/2 + B_0 - B^* = B_0 - B^*/2;$$

$$- \langle M \rangle = (1/\mu_0)(B_0 - \langle B \rangle) = B^*/2 = j_p w/4$$



Критическое состояние. Модель Бина.

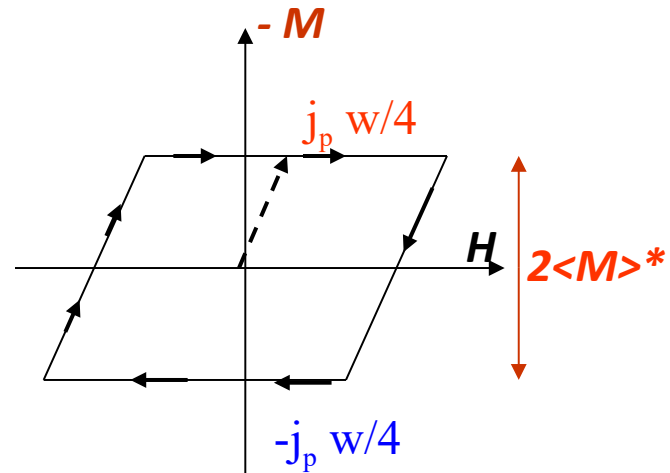


$\frac{dB}{dx} = \mu_0 j_p = \text{const}$ спадает однородно.

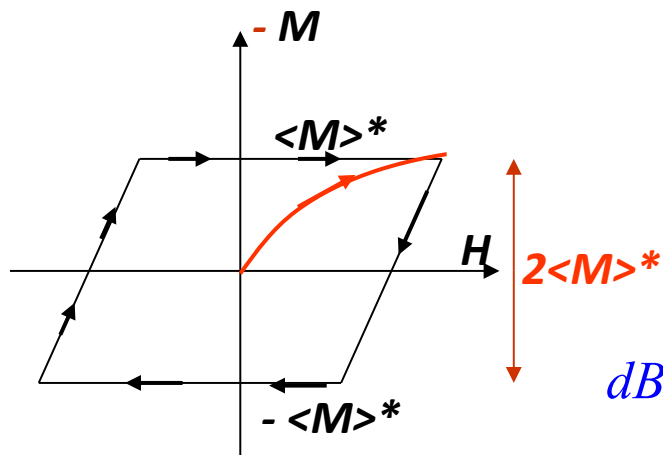
$$\cancel{f_{из}} + \cancel{f_{мейнс}} + f_p + f_{2l} = 0$$

$$- \langle M \rangle = (\mu_0 H_0 - \langle B \rangle) = H_0 [1 - \mu_0 H_0 / (2B^*)]$$

$$- \langle M \rangle = (1/\mu_0)(B_0 - \langle B \rangle) = B^*/2 = j_p w/4$$



Экспериментальное определение критических токов пиннинга

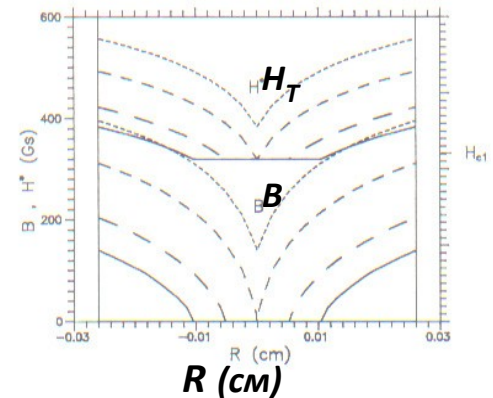
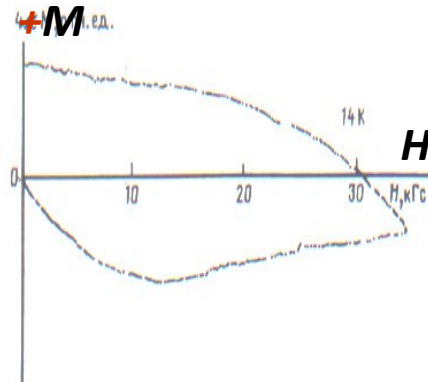
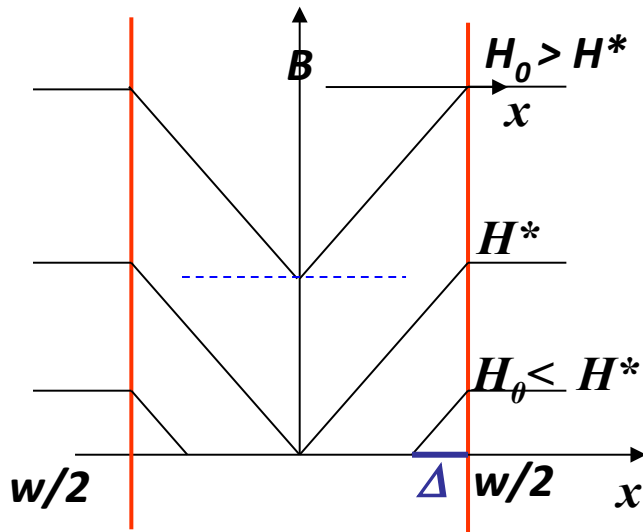


$$dB / dx = \mu_0 j_s$$

$$\Phi_0 dn / dx = \mu_0 j_s$$

Пластина: $j_p = 2(2\langle M \rangle^*) / w$ (6.13 a)

Цилиндр: $j_p = (2\langle M \rangle^*) / (2R)$ (6.14 a)



V.M.Krasnov, V.A.Larkin, V.V.Ryazanov.

The extended Bean critical state model for superconducting 3-axes ellipsoid and its application for obtaining the bulk critical field H_{c1} and the pinning current J_c in high- T_c superconducting single crystals.

Physica C 174, 440 (1991).

The End